- 1.3 地震及び津波への対応
- 1.3.1 地震への対応
- 1.3.1.1 機器の対応

原子炉圧力容器・格納容器注水設備,原子炉格納容器内窒素封入設備,使用済燃料プール設備,原子炉圧力容器・格納容器ホウ酸水注入設備,汚染水処理設備等及び電気系統設備は,地震により想定されるリスクを評価しており,機能喪失時の代替手段を定めている。

1.3.1.2 建屋の対応

対象設備は、燃料を内包する建屋($1\sim6$ 号機原子炉建屋、運用補助共用施設共用プール棟)及び地下に滞留水を貯留する建屋($1\sim4$ 号機原子炉建屋、 $1\sim4$ 号機タービン建屋、 $1\sim4$ 号機廃棄物処理建屋、 $1\sim4$ 号機コントロール建屋、プロセス主建屋、高温焼却炉建屋)とする。

(1) 1~6号機原子炉建屋

1~6号機原子炉建屋の損傷状況や温度上昇等を考慮した,基準地震動Ssによる耐震 安全性評価を実施し,耐震壁及び使用済燃料プール躯体が終局状態に至らないことを確認 している。*1

※ 1:福島第一原子力発電所の原子炉建屋の現状の耐震安全性及び補強等に関する検討に係る報告書(その1) (東京電力株式会社,平成23年5月28日)

福島第一原子力発電所の原子炉建屋の現状の耐震安全性及び補強等に関する検討に係る報告書(その1) (追補版)(改訂2)(東京電力株式会社,平成24年12月25日)

福島第一原子力発電所の原子炉建屋の現状の耐震安全性及び補強等に関する検討に係る報告書(その2) (東京電力株式会社、平成23年7月13日)

福島第一原子力発電所の原子炉建屋の現状の耐震安全性及び補強等に関する検討に係る報告書 (その3) (東京電力株式会社、平成23年8月26日)

福島第一原子力発電所 1 ~ 4 号機本館建物の基準地震動 Ss に対する耐震安全性評価について(東京電力株式会社、平成25年2月21日、特定原子力施設監視・評価検討会(第4回)資料5-1)

(2) 運用補助共用施設共用プール棟

運用補助共用施設共用プール棟の耐震壁および使用済燃料共用プール躯体について,基準地震動Ssによる耐震安全性評価を実施し,問題ないことを確認している(Ⅱ.2.12 参照)。

(3)プロセス主建屋及び高温焼却炉建屋

プロセス主建屋及び高温焼却炉建屋について、基準地震動Ssに対する地下滞留水を考慮した地震応答解析を実施し、地下外壁のせん断ひずみが弾性範囲内であることを確認している。**2.3

※2: プロセス主建屋への移送に関する報告書(東京電力株式会社, 平成23年4月18日)

※3:プロセス主建屋及び雑固体廃棄物減容処理建屋(以下,高温焼却炉建屋)への移送に関する報告書(東京電力株式会社、平成23年5月15日)

(4)地下に滞留水を貯留する $1 \sim 4$ 号機原子炉建屋, $1 \sim 4$ 号機タービン建屋, $1 \sim 4$ 号機 廃棄物処理建屋及び $1 \sim 4$ 号機コントロール建屋

 $1\sim4$ 号機原子炉建屋について、基準地震動S sに対する地下滞留水を考慮した地震応答解析を実施し、地下外壁が終局状態に至らないことを確認している($1\sim3$ 号機については派付資料-3 参照)。

(5) 1~4号機原子炉建屋の点検について

1~4号機原子炉建屋について,作業安全性が確認された時点で,点検を実施する。4 号機原子炉建屋については,4回/年の定期点検(建屋の垂直性の確認,ひび割れ調査,コンクリートの強度確認)を実施することとしている。点検結果及び現場実態を踏まえ,点検頻度及び点検項目等については,適宜見直しを行う。放射線量が高く,建屋内への進入が困難である1~3号機原子炉建屋については,遠隔操作装置等による点検手法の検討を行う。

1.3.2 津波への対応

1.3.2.1 アウターライズ津波を想定した対応

過去に福島沖のアウターライズで大規模な地震・津波が発生したことは知られていないものの、東北地方太平洋沖地震の影響によってアウターライズにおける地震の発生が専門家によって指摘されていることから(Lay et al.(2011)等),福島沖のアウターライズにおける地震に伴う津波を想定する。

津波の評価にあたって想定する地震規模については、日本海溝でのアウターライズ地震の既往最大規模は1933年昭和三陸地震(Mw8.4)であるが、ここでは、より安全側の評価としてプレート境界で発生した地震ではあるものの、三陸沖で過去に発生した最大規模の地震として1611年慶長三陸地震の地震規模Mw8.6を採用する。

また,評価にあたっては,波源の断層パラメータの不確かさを考慮することとし,断層の位置,走向を変化させ,発電所の津波高さが最大となる場合を想定する。

上記解析の結果,発電所港湾内から敷地($1\sim4$ 号機側O. P. $+10\,\mathrm{m}$, $5\cdot6$ 号機側O. P. $+10\,\mathrm{m}$, $5\cdot6$ 号機側O. P. $+10\,\mathrm{m}$) への遡上は確認されないものの,敷地南東側から $1\sim4$ 号機側敷地 (O. P. $+10\,\mathrm{m}$) への遡上が確認された。このため,敷地の南東部に仮設防潮堤を設置することとし,これをモデル化した数値解析を実施した。その結果,仮設防潮堤により敷地への遡上を防ぐことができることを確認したことから,敷地の南東部に仮設防潮堤を設置した。(添付資料-1)

1.3.2.2 アウターライズ津波を超える津波を想定した対応

(1)機器の対応

原子炉圧力容器・格納容器注水設備,原子炉格納容器内窒素封入設備,使用済燃料プール設備,原子炉圧力容器・格納容器ホウ酸水注入設備,汚染水処理設備等及び電気系統設備は,津波により想定されるリスクを評価しており,機能喪失時の代替手段を定めている。

また, 5・6号機については, 津波により想定されるリスクを評価しており, 機能喪失 時の代替手段を定めている。

(2)建屋の対応

対象設備は、燃料を内包する建屋($1\sim4$ 号機原子炉建屋、運用補助共用施設共用プール棟)及び地下に滞留水を貯留する建屋($1\sim4$ 号機原子炉建屋、 $1\sim4$ 号機タービン建屋、 $1\sim4$ 号機廃棄物処理建屋、 $1\sim4$ 号機コントロール建屋、プロセス主建屋、高温焼却炉建屋)とする。

平成23年3月11日に発生した東北地方太平洋沖地震による津波に対し、 $1\sim4$ 号機原子炉建屋、 $1\sim4$ 号機タービン建屋、 $1\sim4$ 号機廃棄物処理建屋、 $1\sim4$ 号機コントロール建屋、運用補助共用施設共用プール棟、プロセス主建屋及び高温焼却炉建屋について、津波による外壁や柱等の構造躯体に有意な損傷は確認されていない。

なお,地下に汚染水が貯留する建屋について,現場の状況等を勘案し,津波襲来時の地下からの汚染水流出防止を目的に,建屋開口部の閉塞等,低減対策を実施していく。

また、5・6号機については、平成23年3月11日に発生した東北地方太平洋沖地震による津波に対し、5・6号機原子炉建屋、5・6号機タービン建屋、5・6号機廃棄物処理建屋、5・6号機コントロール建屋について、津波による外壁や柱等の構造躯体に有意な損傷は確認されていない。

1.3.2.3 今後の対応

原子力発電所で想定すべき津波については、東北地方太平洋沖地震を踏まえ、現在国によって検討が行われており、これら状況を注視しつつ必要に応じて今後の津波に対する安全性評価及び対策へ反映していく。

1.3.3 添付資料

- 添付資料-1 アウターライズ津波を想定した対策
- 添付資料-2 福島第一原子力発電所の原子炉建屋の現状の耐震安全性及び補強等に関する検討に係る報告書(その1)(東京電力株式会社,平成23年5月28日)
- 添付資料-3 福島第一原子力発電所の原子炉建屋の現状の耐震安全性及び補強等に関する検討に係る報告書(その1)(追補版)(改訂2)(東京電力株式会社, 平成24年12月25日)
- 添付資料-4 福島第一原子力発電所の原子炉建屋の現状の耐震安全性及び補強等に関する検討に係る報告書(その2)(東京電力株式会社,平成23年7月13日)
- 添付資料-5 福島第一原子力発電所の原子炉建屋の現状の耐震安全性及び補強等に関する検討に係る報告書(その3)(東京電力株式会社,平成23年8月26日)
- 添付資料-6 福島第一原子力発電所1~4号機本館建物の基準地震動 Ss に対する耐震 安全性評価について(東京電力株式会社,平成25年2月21日,特定 原子力施設監視・評価検討会(第4回)資料5-1)

アウターライズ津波を想定した対策

1. 仮設防潮堤(フィルターユニット)の設置

アウターライズ津波への対策としての仮設防潮堤は、切迫性の高いとされる津波に対する緊急的な対策として、平成23年6月末に設置完了している。

仮設防潮堤については、今回の地震により地盤が沈下した量(約0.7 m)も加味し、O.P. +10 m盤各所において想定されたアウターライズ津波の高さに対して求められた浸水深さに対して必要な防潮堤高さを設定し、総延長約400 mの仮設防潮堤を構築した。

設計では、砕石を詰めた1段0.6 mの高さの堤体(フィルターユニットエコグリーン)を津波浸水深と津波の衝撃波力に抵抗できる規模(高さとせん断抵抗が必要な堤体敷幅)まで積み上げた(最大O.P.+14.2m)。

津波の衝撃波力**については、防潮堤がない場合の進行波の浸水深の3倍の静水深による水圧を仮設防潮堤の前面に作用させ、各断面(最大7段積:O.P.+14.2mの高さまで)での津波波力に対する抵抗力を求め、全ての断面形状での堤体のすべりに対する安全性を確認している。また、仮設防潮堤の前面は、遮水材(CVスプレー)により覆われており遮水効果も有している。

以上のことから、アウターライズ津波を想定しても、仮設防潮堤によりO. P. +10 m盤への海水の浸入は防止でき、各設備・施設の機能は維持される。

※: 津波波力の算定については、「朝倉ほか(2000)」、「津波避難ビル等に係るガイドライン(2005)内閣府」 による。

堤体(フィルターユニット)の耐久性については、メーカーにて耐候性、耐薬品性等の促進試験を実施しており、国内本設工事(耐用年数30年)に適用実績があることを確認している。遮水材(CVスプレー)についても、メーカーにて実施した促進試験により、30年以上の耐候性を確認している。

以下に仮設防潮堤の安定性検討結果を示す。

1.1 検討条件

仮設防潮堤は、砕石を詰めた1段0.6 m高さのフィルターユニットを所定の高さ(後述 O. P. $+12.4\sim14.2$ m)まで積み上げた構造である。安定性検討に使用するフィルターユニット諸元は表-1の通りである。

表-1 フィルターユニット諸元

フィルターユニット形状	幅 2.4m×長さ 2.4m×高さ 0.6m
フィルターユニット材質	ポリエステル, 25mm 目
内容物	砕石 (50mm~250mm)
フィルターユニット気中重量	39. 2kN/個
フィルターユニット間の摩擦係数*	0.8
フィルターユニットと地盤面の摩擦係数*	0.6

*摩擦係数について

フィルターユニットの摩擦係数は、「港湾の施設の技術上の基準・同解説」(H19.7) に示される静止摩擦係数の特性値に基づいて設定する。

表-9.1 静止摩擦係数の特性値

コンクリートとコンクリート	0.5
コンクリートと岩盤	0.5
<u> 木中コンクリートと岩盤</u>	0.7~0.8
コンクリートと捨石	0.6
捨石と捨石	0.8
木材と木材	0.2(湿)~0.5(乾)
摩擦増大マットと捨石	0.75

港湾の施設の技術上の基準・同解説 (H19.7) 上巻より抜粋・一部改変

仮設防潮堤の高さ、設計用津波高さを表-2にまとめる。

仮設防潮堤の高さは、津波対策ありの条件において算定される津波高さを上回るように設定している(図-1*)。例えば、最大津波高さ(O. P. +14.13m)となる箇所では、フィルターユニット7段積、高さO. P. +14.2mの仮設防潮堤を設定している。

仮設防潮堤に対する波力を決定するための設計用津波高さには、進行波の水深を使用している。具体的には、図-2*に示した津波対策なしの条件において算定される進行波の水深より、10m盤の最大浸水深を設計用津波高さとして使用している。

* : 福島第一・福島第二原子力発電所におけるアウターライズ津波対策(平成24年4月27日, 地震・津波に関する意見聴取会(津波関係), 地震・津波(津波)1-4)

表-2 仮設防潮堤の高さと設計用津波高さ

断面形状	高さ	設計用津波高さ (仮設防潮堤がない場合の進行波の 水深)	
4段積	0. P. +12. 4m	1.40 m	
5段積	O. P. +13. Om	1.29 m	
6段積	0. P. +13. 6m	2.22 m	
6段積(コーナー)	0. P. +13. 6m	2.36 m	
7段積	0. P. +14. 2m	2.20 m	

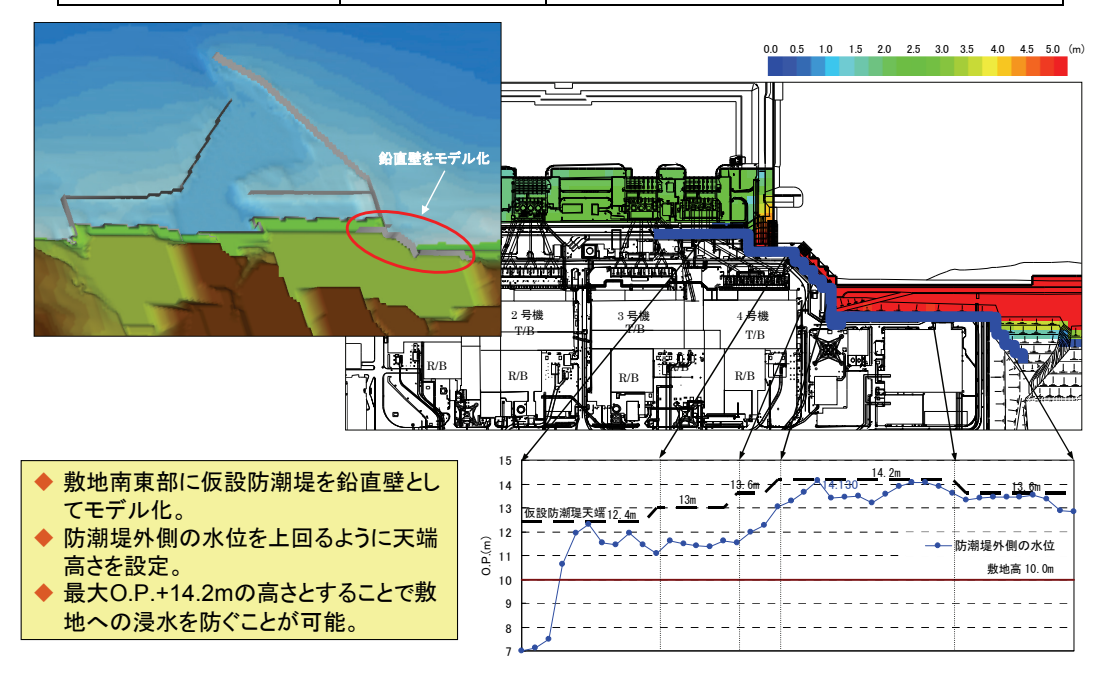
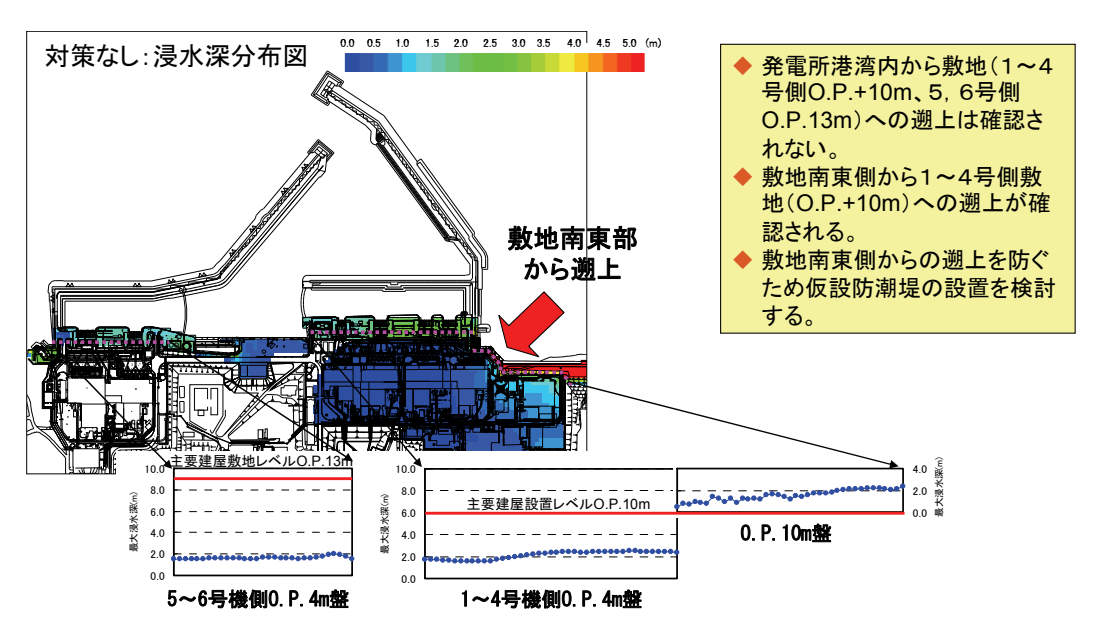


図-1 1 F敷地南側における最大津波高さと仮設防潮堤高さの比較(津波対策あり)



初期潮位(朔望平均満潮位)H.W.L.=O.P.+1.490m, 東北地方太平洋沖地震による地盤沈下=0.662mを考慮

図-2 1F敷地南側10m 盤沿いの最大浸水深(日本海溝寄りプレート内 (正断層モデル)) 津波対策なし O. P.+10mに対する浸水深を示す

津波波力に対する安定性検討(滑動,転倒)では、津波波圧として仮設防潮堤がないときの進行波の水深(最大浸水深)の3倍の静水圧*を設定する(図-3)。なお、仮設防潮堤の海側には遮水材を施工し、浸水を防止していることから、浮力は発生しない。図-3は例として、仮設防潮堤(7段積)の底部に対する滑動安定性評価を整理したものであり、摩擦抵抗力(206KN)が波力(191KN)を上回ることから滑動しないことを示している。

*:津波避難ビル等に係るガイドライン (2005 内閣府)

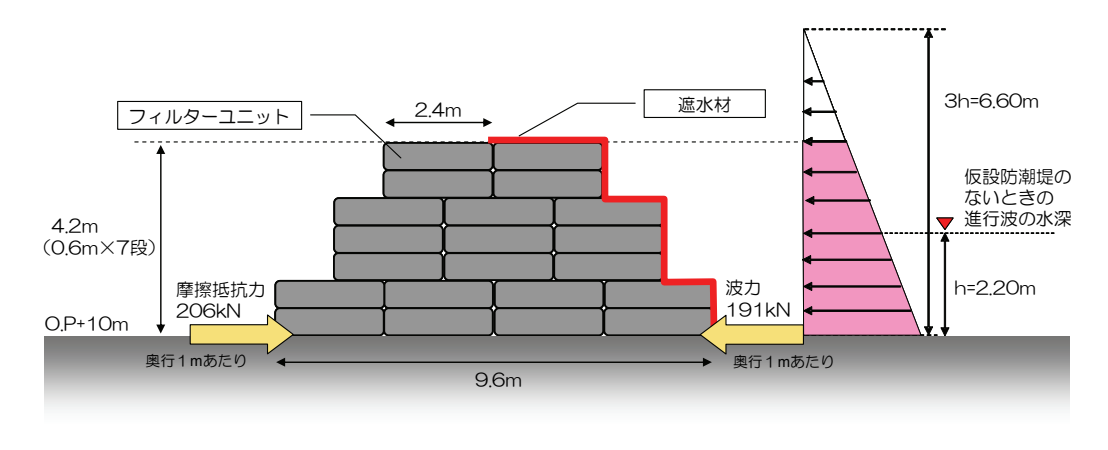


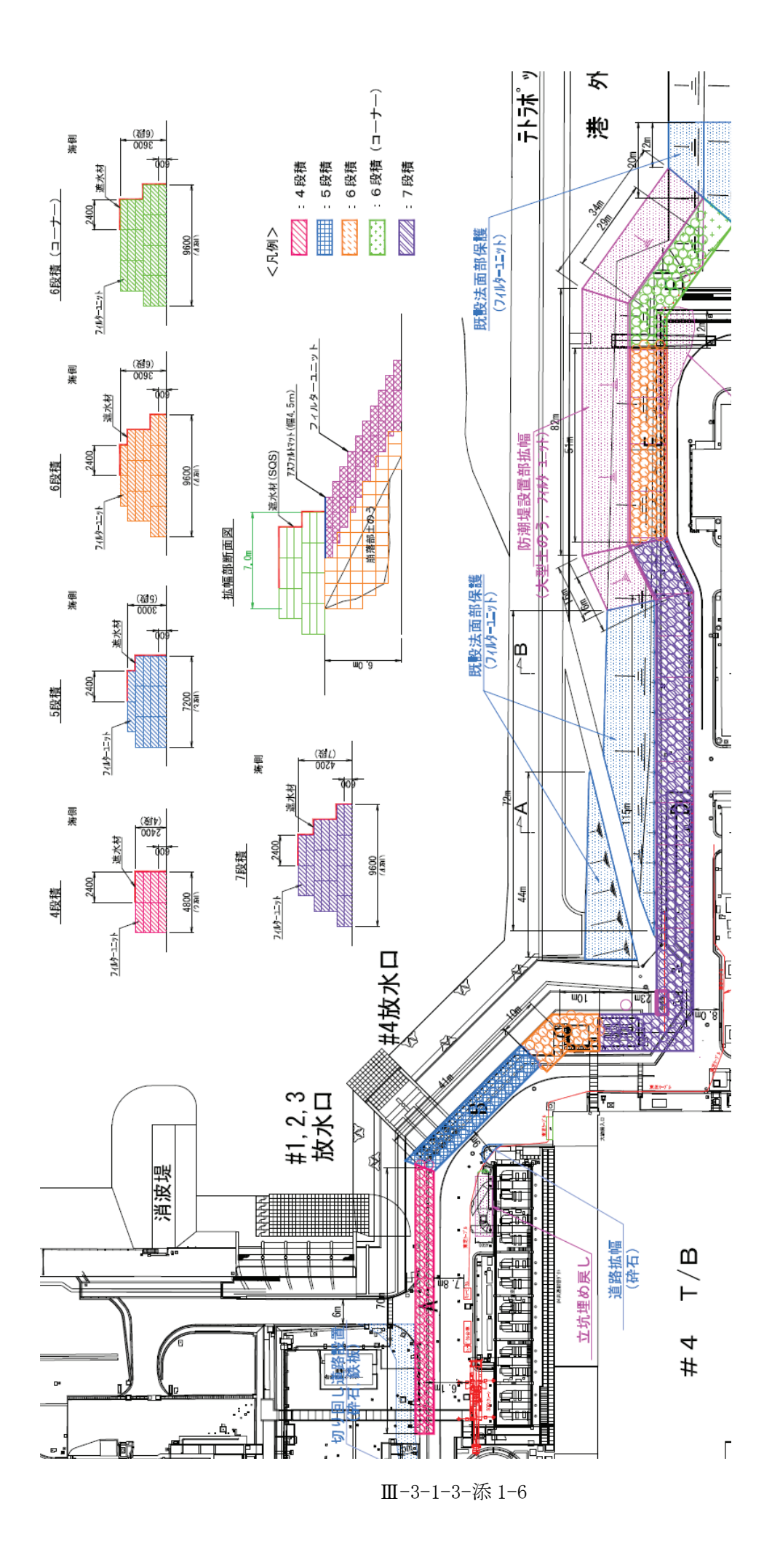
図-3 仮設防潮堤 津波波力の考え方(7段積の例)

地震については、水平震度 0.3 に対する安定性検討(滑動、転倒)を行う。また、地震に対する裕度についても検討する。

仮設防潮堤の断面形状,配置を図-4に示し,表-3に仮設防潮堤寸法をまとめる。

表-3 仮設防潮堤 寸法一覧

断面形状	高さ	底盤幅	重心高さ
4段積	2.40m	4.80m	1.20m
5段積	3.00m	7.20m	1.41m
6 段積	3.60m	9.60m	1.59m
6 段積 (コーナー)	3.60m	9.60m	1.67m
7段積	4.20m	9.60m	1.81m



1.2 安定性の検討方法

津波波力に対する滑動安定性検討は、図-5の通り、各断面(検討位置)に対して、津波による波力およびフィルターユニットの摩擦抵抗力(水平耐力)をそれぞれ算定し、摩擦抵抗力が津波波力を上回っていることを確認する。また、転倒に対する安定性については、荷重合力の偏心量が底面のミドルサード内にあることを確認する。

地震についても同様に、滑動は図-5の各断面について摩擦抵抗力が地震力を上回ることを確認し、転倒は、荷重合力の偏心量が底面のミドルサード内にあることを確認する。

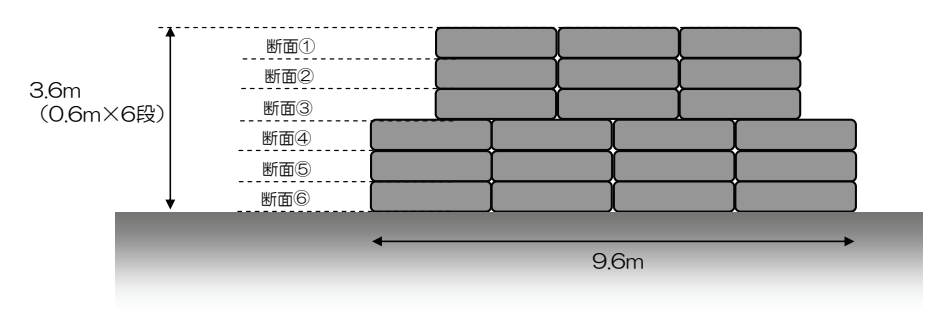


図-5 仮設防潮堤断面図(6段積(コーナー)の場合)

【津波波力に対する滑動安定性評価の計算例】

6段積 (コーナー) 断面③(図-6) について、計算例を示す。

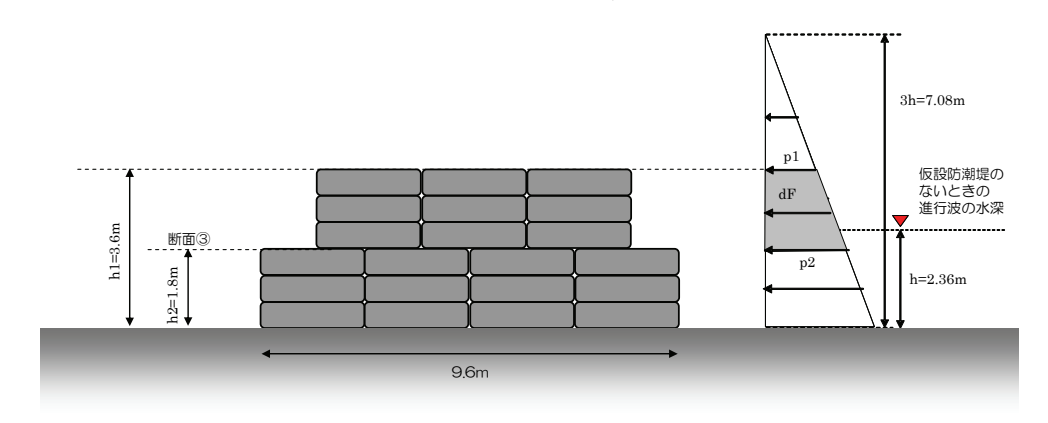


図-6 津波波力 滑動(仮設防潮堤6段積(コーナー)断面③の例)

○津波波力の算定

・仮設防潮堤 高さ 3.6m における波圧 (p1)

p1= $\rho g(3h-h1)$ = 1.03×10³×9.8×(3×2.36-3.6) = 35.1 kN/m²

 ρ :海水密度 (1.03×10³ kg/m³), g:重力加速度 (9.8 m/s²),

h:設計用津波高さ (2.36 m), h1:仮設防潮堤高さ (3.6m)

・仮設防潮堤 高さ 1.8m (断面③) における波圧 (p2)

 $p2 = \rho g(3h-h2)$ = 1.03×10³×9.8×(3×2.36-1.8) = 53.3 kN/m²

 ρ :海水密度 (1.03×10³ kg/m³), g:重力加速度 (9.8 m/s²),

h:設計用津波高さ (2.36 m), h2:断面③高さ (1.8m)

・仮設防潮堤 高さ 1.8m(断面③)における単位奥行き(1m)あたりの波力(dF) dF= $0.5\times(p1+p2)\times(h1-h2)=0.5\times(35.1+53.3)\times(3.6-1.8)=79.6$ kN/m

○摩擦抵抗力

検討位置の断面③に該当するフィルターユニットは9個フィルターユニット気中重量:39.2kN/個,フィルターユニット間の摩擦係数:0.8フィルターユニット寸法:2.4m(奥行1個当)

・摩擦抵抗力 (単位奥行き (1m) 当り): $39.2 \times 9 \times 0.8 / 2.4 = 117.6 \text{ kN/m}$

○評価

摩擦抵抗力は津波波力を上回り滑動しない。

津波波力 (dF) 79.6 kN < 摩擦抵抗力 117.6 kN・・・・・・・・・・・O K

【津波波力に対する転倒安定性評価の計算例】

6段積(コーナー)(図-7)について、計算例を示す。

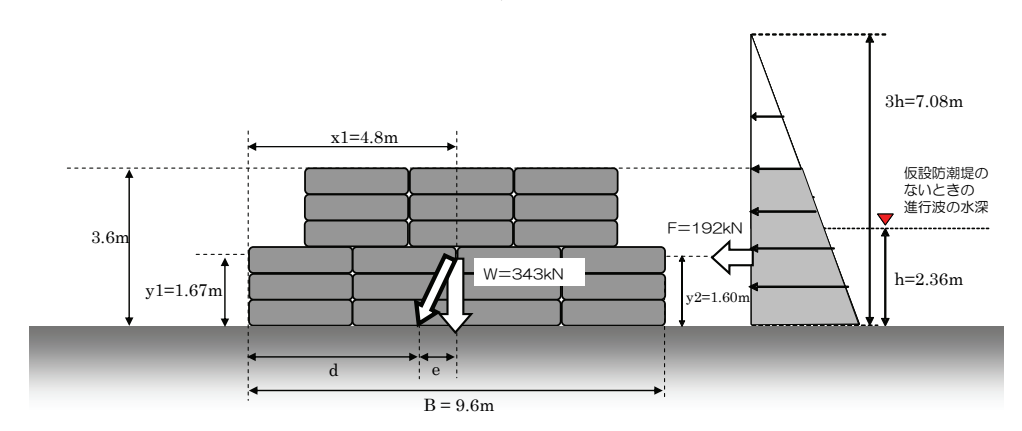


図-7 津波波力 転倒(仮設防潮堤6段積(コーナー)の例)

○荷重合力位置の算定

仮設防潮堤 6 段積 (コーナー) のフィルターユニット: 21 個 フィルターユニット気中重量: 39.2kN/個,フィルターユニット寸法: 2.4m (奥行 1 個当)

単位奥行きあたりの仮設防潮堤重量: W=39.2 (kN/個) $\times 21$ (個) /2.4 (m) = 343 kN/m

単位奥行きあたりの津波波力:F=191.87 kN/m

仮設防潮堤重心高さ:y1=1.67m, 仮設防潮堤重心距離:x1=4.8m

津波波力重心高さ: v2=1.5955m

- ・抵抗モーメント: Mr =W×x1=343×4.8=1646.4 kNm
- ・転倒モーメント: Mo =F×y2=191.87×1.5955=306.1 kNm
- ・底面合力作用位置: d = (Mr-Mo) / W= (1646.4-306.1) / 343=3.91 m
- ・底面合力偏心量: e = B/2-d = 4.80-3.91=0.89 m

○評価

荷重合力は底面のミドルサード内であり、転倒することはない。

底面合力偏心量: e = 0.89 m < B/6 = 9.60 / 6 = 1.60 m ・・・・・・OK

1.3 結果

表-4~7に検討結果を示す。

表-4 津波波力に対する滑動安定性検討結果

断面形状	津波波力	摩擦抵抗力	評価
	断面①: 13kN	断面①: 26kN	
4段積	断面②: 29kN	断面②: 52kN	
(津波高さ h=1.40m)	断面③: 49kN	断面③: 78kN	
	断面④: 73kN	断面④: 78kN	
	断面①: 7kN	断面①: 26kN	
5 段積	断面②: 18kN	断面②: 65kN	
(津波高さ h=1.29m)	断面③: 32kN	断面③:105kN	0
(伴仮同で 11-1. 25111)	断面④: 50kN	断面④:144kN	
	断面⑤: 72kN	断面⑤:137kN	
	断面①: 20kN	断面①: 26kN	
	断面②: 44kN	断面②: 65kN	
6 段積	断面③: 72kN	断面③:105kN	0
(津波高さ h=2.22m)	断面④:103kN	断面④:144kN	
	断面⑤:138kN	断面⑤:196kN	
	断面⑥:177kN	断面⑥:186kN	
	断面①: 23kN	断面①: 39kN	
	断面②: 49kN	断面②: 78kN	
6段積(コーナー)	断面③: 80kN	断面③:118kN	
(津波高さ h=2.36m)	断面④:113kN	断面④:170kN	
	断面⑤:151kN	断面⑤:222kN	
	断面⑥:192kN	断面⑥:206kN	
	断面①: 16kN	断面①: 26kN	
	断面②: 36kN	断面②: 52kN	
7段積	断面③: 60kN	断面③: 91kN	
イ 収積 (津波高さ h=2.20m)	断面④: 87kN	断面④:131kN	\circ
(神汉同で 11-2, 2011)	断面⑤:118kN	断面⑤:170kN	
	断面⑥:153kN	断面⑥:222kN	
	断面⑦:191kN	断面⑦:206kN	

※ 単位奥行き (1m) あたりの津波波力, 摩擦抵抗力として算出。

全ての断面において、津波波力に対する滑動安定性評価に問題はない。 底部 (フィルターユニットと地盤面) の摩擦係数を 0.6 としていることから、滑動安 定性は、全断面を通して底部が最も厳しい評価となる。

表-5 津波波力に対する転倒安定性検討結果

防潮堤断面	津波波力	偏心量	B/6	評価
4段積(8個)	津波高さ:1.40m			
底面幅 B: 4.80m	津波波力:73kN	0.58m	0.80m	\circ
重量:130.7kN	波力重心高さ:1.04m			
5段積(14個)	津波高さ:1.29m			
底面幅 B:7.20m	津波波力: 72kN	0.37m	1.20m	0
重量:228.7kN	波力重心高さ: 1.18m			
6 段積(19 個)	津波高さ:2.22m			
底面幅 B: 9.60m	津波波力:177kN	0.90m	1.60m	\circ
重量:310.3kN	波力重心高さ:1.58m			
6段積 (コーナー) (21	津波高さ:2.36m			
個)	津波波力:192kN	0. 89m	1.60m	
底面幅 B:9.60m	波力重心高さ:1.60m	0.89m	1. 60111	
重量:343.0kN				
7段積(21個)	津波高さ:2.20m			
底面幅 B: 9.60m	津波波力:191kN	0.99m	1.60m	0
重量:343.0kN	波力重心高さ:1.77m			

※ 単位奥行き (1m) あたりの重量,波力として記載。

全ての断面において、津波波力に対する転倒安定性評価に問題はない。

仮設防潮堤の断面形状から重心位置が相対的に高くなるため、4段積ケースの偏心量と B/6の比がやや大きい結果となる。

表-6 地震力に対する滑動安定性検討結果

断面形状	地震力	摩擦抵抗力	評価
4段積	断面①: 10kN	断面①: 26kN	
	断面②: 20kN	断面②: 52kN	0
	断面③: 29kN	断面③: 78kN	
	断面④: 39kN	断面④: 78kN	
	断面①: 10kN	断面①: 26kN	
	断面②: 25kN	断面②: 65kN	
5段積	断面③: 39kN	断面③:105kN	0
	断面④: 54kN	断面④:144kN	
	断面⑤: 69kN	断面⑤:137kN	
	断面①: 10kN	断面①: 26kN	
	断面②: 25kN	断面②: 65kN	
6 段積	断面③: 39kN	断面③:105kN	0
10 权惧	断面④: 54kN	断面④:144kN	
	断面⑤: 74kN	断面⑤:196kN	
	断面⑥: 93kN	断面⑥:186kN	
	断面①: 15kN	断面①: 39kN	
	断面②: 29kN	断面②: 78kN	
6段積 (コーナー)	断面③: 44kN	断面③:118kN	0
	断面④: 64kN	断面④:170kN	
	断面⑤: 83kN	断面⑤:222kN	
	断面⑥:103kN	断面⑥:206kN	
	断面①: 10kN	断面①: 26kN	
7 段積	断面②: 20kN	断面②: 52kN	
	断面③: 34kN	断面③: 91kN	
	断面④: 49kN	断面④:131kN	\circ
	断面⑤: 64kN	断面⑤:170kN	
	断面⑥: 83kN	断面⑥:222kN	
	断面⑦:103kN	断面⑦:206kN	

※ 単位奥行き (1m) あたりの地震力, 摩擦抵抗力として算出。

全ての断面において、地震力に対する滑動安定性評価に問題はない。

底部(フィルターユニットと地盤面)の摩擦係数を0.6としていることから、滑動安定性は、全断面を通して底部が最も厳しい評価となる。

仮設防潮堤を設計する上での支配的な荷重は津波波力となっていることから, 水平震度

0.3に対しては十分な余裕があり、摩擦係数から判断すれば、水平震度0.6までの安定性は確保することができる。

表-7 地震力に対する転倒安定性検討結果

防潮堤断面	地震力	偏心量	B/6	評価
4段積(8個) 底面幅 B: 4.80m 重量: 130.7kN	地震力: 39kN 重心高さ:1.20 m	0. 36m	0.80m	0
5 段積(14 個) 底面幅 B: 7. 20m 重量: 228. 7kN	地震力: 69kN 重心高さ: 1.41m	0. 42m	1.20m	0
6 段積(19 個) 底面幅 B: 9.60m 重量: 310.3kN	地震力: 93kN 重心高さ: 1.59m	0. 48m	1.60m	0
6 段積 (コーナー) (21 個) 底面幅 B: 9.60m 重量: 343.0kN	地震力: 103kN 重心高さ: 1.67m	0. 50m	1.60m	0
7 段積(21 個) 底面幅 B: 9.60m 重量: 343.0kN	地震力:103 kN 重心高さ:1.81 m	0.54m	1.60m	0

※ 単位奥行き (1m) あたりの重量, 地震力として記載。

全ての断面において、地震力に対する転倒安定性評価に問題はない。

仮設防潮堤の断面形状から重心位置が相対的に高くなるため、4段積ケースの偏心量と B/6の比がやや大きい結果となる。

偏心量とB/6の関係を考えれば、4段積ケースにおいて水平震度0.67とした場合に、偏心量がミドルサード(B/6)を上回る結果となる。地震動に対する滑動安定性評価(表-6)と併せて考えれば、仮設防潮堤フィルターユニットの安定性評価においては、水平震度0.6まで問題は生じないものと考えることができる。

2. トレンチの閉塞

2号機及び3号機の海水配管トレンチ及び電源ケーブルトレンチについては、平成23年4月2日及び5月11日の海域への汚染水流出において、タービン建屋からの経路となったことから、海域への汚染水流出防止措置として、平成23年6月までにO.P.+4m盤の開口部(ピット、トレンチ立坑入口)の閉塞を完了している。

平成24年1月から実施したトレンチ等内部点検において、溜まり水の放射性物質濃度 (Cs)が $10^2 \sim 10^3$ Bq/ cm^3 レベルであった2号機及び3号機ポンプ室循環水ポンプ吐出弁ピットのうち2号機ポンプ室循環水ポンプ吐出弁ピットの水移送及び充填作業を 平成24年4月29日に完了した。また、3号機ポンプ室循環水ポンプ吐出弁ピットの水移送及び充填作業を平成24年5月28日に完了した。

このことから、アウターライズ津波により、高レベル汚染水が滞留している海水配管トレンチや電源ケーブルトレンチ等に海水が流入し、汚染水が溢水することはないと考えている。

以上

福島第一原子力発電所の原子炉建屋の現状の 耐震安全性および補強等に関する検討に係る報告書 (その1)

修正反映版

平成23年5月東京電力株式会社

目 次

- 1. はじめに
- 2. 耐震安全性評価に関する検討方針
- 3. 耐震安全性評価に関する検討結果
- 4. 耐震補強工事等の対策に関する検討結果
- 5. まとめ

添付資料-1:1号機の原子炉建屋の耐震安全性評価に関する詳細

添付資料-2:「福島第一原子力発電所第1号機における燃料域上部まで原子炉格納容器を 水で満たす措置の実施に係る報告書」(平成23年5月5日)からの一部抜 粋

添付資料-3:4号機の原子炉建屋の耐震安全性評価に関する詳細 (質点系モデルによる時刻歴応答解析による評価)

添付資料-4:4号機の原子炉建屋の耐震安全性評価に関する詳細 (3 次元 FEM 解析による局部評価)

福島第一原子力発電所の原子炉建屋の現状の耐震安全性 および補強等に関する検討に係る報告書(その1)

1. はじめに

本報告書は、「核原料物質、核燃料物質及び原子炉の規制に関する法律第67条第1項の規定に基づく報告の徴収について」(平成23年4月13日)に基づき、福島第一原子力発電所の原子炉建屋の現状の耐震安全性および補強に関する検討を実施した結果を報告するものである。

今回の(その1)では、評価結果がまとまった1号機及び4号機を先行して報告するものであり、その他の号機については評価結果がまとまった時点で改めて報告する 予定である。

2. 耐震安全性評価に関する検討方針

(1)1号機の原子炉建屋

1号機の原子炉建屋については、東北地方太平洋沖地震の翌日である3月12日に水素爆発とみられる事象により、5階のオペレーティングフロアより上部が破損した。一方で、3号機や4号機とは異なり5階以下の破損はみられない。このような破壊形式に至ったのは、1号機は5階以上が鉄骨構造に鋼板を取り付けた構造形式であり、内圧に対して壁の部分が非常に脆弱であったためと推定しており、この部分が先行破壊して内圧を開放したことにより、5階より下の構造はほぼ健全な状態を維持していると評価した。この情報を質点系モデルに反映し、基準地震動 Ssによる時刻歴応答解析を実施し、耐震壁がせん断破壊する終局状態に至るかどうかについて検討することとした。

(2) 4号機の原子炉建屋

4号機の原子炉建屋は、3月15日に破損していることが確認された。4号機については、破損が生じた時の映像が無いことなどから、どのようなプロセスで破損に至ったのか現段階では必ずしも特定されていない。1号機とは構造形式が異なり鉄筋コンクリート構造であり、内圧に対して壁の抵抗力が大きかったためと推定されるが、柱と梁のフレーム構造と屋根トラスを残して、屋根スラブと壁の大半が失われており、さらに4階の壁の大部分と、3階の一部の壁が破損している。このように、4号機については、1号機と異なり5階以下の壁も破損しているので、この情報を質点系モデルに反映し、基準地震動Ssによる時刻歴応答解析を実施し、耐震壁がせん断破壊する終局状態に至るかどうかについて全体評価を行うこととした。

その後、使用済燃料プールを含めた3次元FEM解析により局部評価を行うこととし、時刻歴応答解析により得られた最大値を地震荷重として入力し、温度荷重などその他の荷重と組み合わせた評価を行うこととした。

3. 耐震安全性評価に関する検討結果

(1)1号機の原子炉建屋

基準地震動 Ss を用いた時刻歴応答解析を実施した結果、残存している 5 階以下の耐震壁に発生するせん断ひずみは最大でも 0.12×10^3 であり、評価基準値である 4×10^3 を大きく下回っており、十分な安全性を有しているものと評価している(結果的にはおおむね弾性範囲と言える状態であった。)。したがって、耐震安全上重要な設備である「原子炉圧力容器」、「原子炉格納容器」、「使用済燃料プール」などに影響を及ぼすおそれはないものと評価している。

(添付資料-1)

さらに、5月5日に報告済みの「福島第一原子力発電所第1号機における燃料域上部まで原子炉格納容器を水で満たす措置の実施に係る報告書」からの一部を引用するが、格納容器を水で満たした場合の結果と今回の解析結果はそれほど大きく異なるものではない。このことは、原子炉建屋における重量分布が多少変化したとしても、その影響は小さいことを示しているものと考えられる。また、現段階で原子炉格納容器の水は目標水位レベルには達していないが、特に問題が生じることはないものと考えられる。

(添付資料-2)

(2) 4号機の原子炉建屋

基準地震動 Ss を用いた時刻歴応答解析を実施した結果、残存している 5 階以下の耐震壁に発生するせん断ひずみは最大でも 0.17×10^3 であり、評価基準値である 4×10^3 を大きく下回っており、十分な安全性を有しているものと評価している(結果的にはおおむね弾性範囲と言える状態であった。)。したがって、耐震安全上重要な設備である「原子炉圧力容器」、「原子炉格納容器」、「使用済燃料プール」などに影響を及ぼすおそれはないものと評価している。

(添付資料-3)

- 3次元 FEM 解析による局部評価結果としては、次のような評価を行った。
- ・ 基準地震動 Ss によって作用する地震荷重とその他の荷重を組み合わせた結果、 使用済燃料プールにおいて鉄筋の最大ひずみは 1230×10⁻⁶であり、評価基準値

である塑性限界ひずみの 5000×10^6 に対して十分余裕がある (結果として、解析上の弾性限界ひずみの 1683×10^6 よりも小さい。)。また、面外せん断力において最も余裕が少ない部位での発生応力は 800 (N/mm) であり、評価基準値である 1150 (N/mm) に対して十分余裕がある。

- ・ 爆発によって、残存する床や壁にひび割れが生じ、剛性低下があったと仮定したパラメータスタディの結果によると、使用済燃料プールの評価結果に大きな 差異は生じなかった。
- ・4 階で火災があった可能性が高く、その火災エリアにおいてはコンクリート表面から結晶水が失われ、部分的な剛性低下があったと仮定したパラメータスタディの結果によると、使用済燃料プールの評価結果に大きな差異は生じなかった。
- ・現在の使用済燃料プールの水温は 90℃程度であり、外気温は低い場合でも 10℃と仮定した解析を標準としているが、冬までこの状態が継続した場合を考えて、水温が 100℃で外気温が 0℃としたパラメータスタディを実施した。この 場合には標準ケースよりも余裕が少なくなるものの、評価基準値に対しては十分な余裕を確保していることを確認した。

(添付資料-4)

4. 耐震補強工事等の対策に関する検討結果

(1)1号機の原子炉建屋

耐震安全性評価の結果として、耐震安全性の確保ができないおそれがある箇所は無かったことから、現段階では緊急的な耐震補強工事等の対策は考えていない。また、現段階では建物内部の線量レベルが高いことから立入が難しいという面もある。今後、環境改善が進み建物内部の線量レベルが作業を行うのに十分な程度に低減された場合には、余裕度向上の観点からの補強工事を行うことも考慮にいれて、検討に取り組んでいくこととする。なお、5階以上に残存している鉄骨部分に関しては、今後環境改善が進み使用済燃料プールからの燃料取り出しを行う段階になった場合などには、使用済燃料への影響を踏まえた対策の検討を行うこととする。

(2) 4号機の原子炉建屋

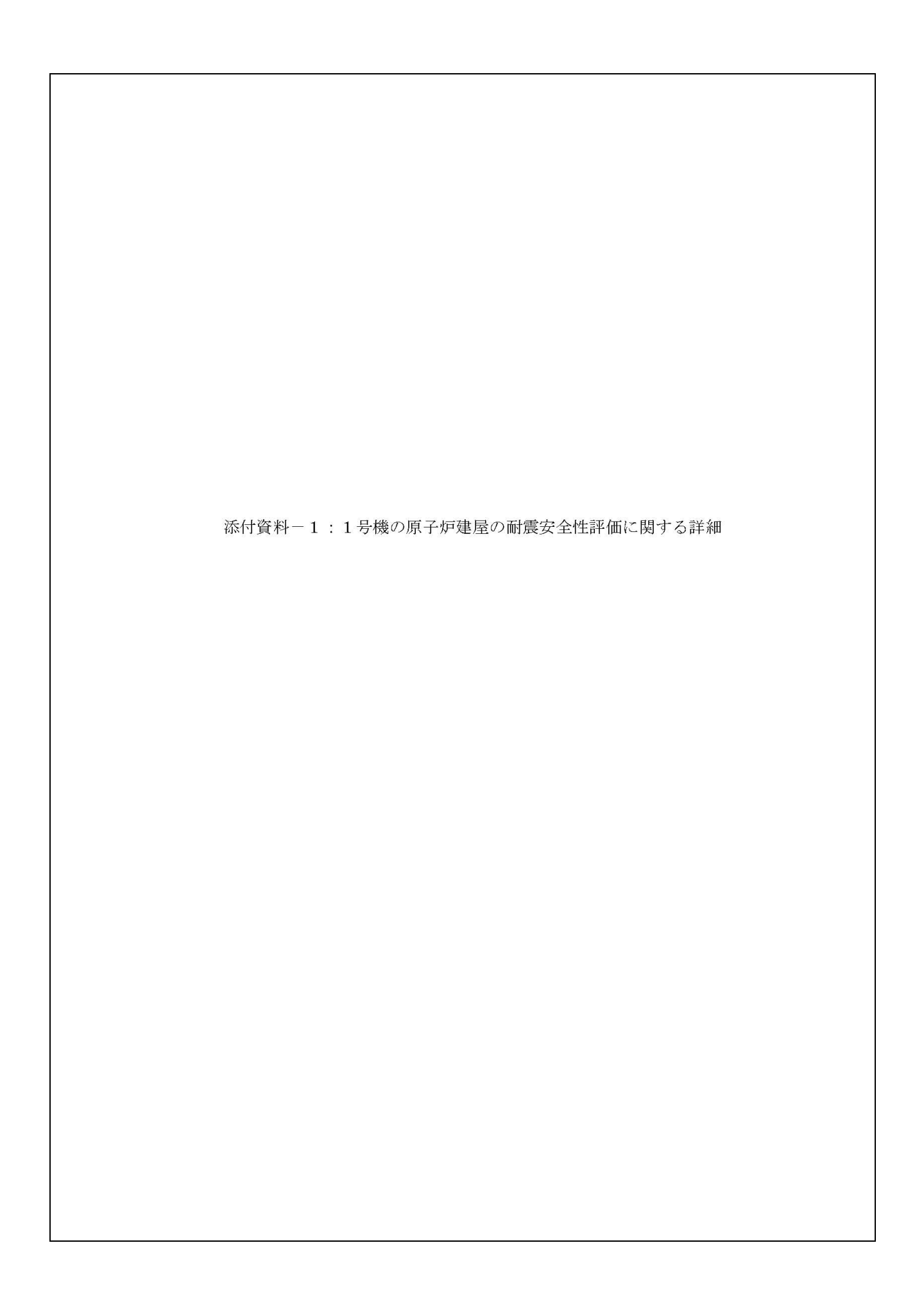
耐震安全性評価の結果として、耐震安全性の確保ができないおそれがある箇所は無かったことから、現段階では緊急的な耐震補強工事等の対策は考えていない。ただし、4号機の原子炉建屋の1階と2階については、比較的線量レベルが低かったことから、使用済燃料プールの底部において裕度向上を目的とした補強工事を計画し、現段階では準備工事を実施中である。この補強工事の効果について、3次元 FEM 解析による

局部評価のモデルに取り込んで評価を行った結果、余裕度の向上に寄与していることを確認した。なお、5階以上に残存している鉄筋コンクリート構造の架構と鉄骨構造の屋根トラスに関しては、今後環境改善が進み使用済燃料プールからの燃料取り出しを行う段階になった場合などには、使用済燃料への影響を踏まえた対策の検討を行うこととする。

(添付資料-4)

5. まとめ

本報告書においては、1号機の原子炉建屋及び4号機の原子炉建屋について耐震安全性評価を実施し、安全性に問題がないことを確認した。なお、現在4号機において実施中の使用済燃料プールの底部における補強工事についての効果が確認された。今後は、5階以上が大きく損傷し、5階以下の壁もかなり損傷している3号機の評価がまとまった時点で、追加報告を行う予定である。



1. 解析評価方針

水素爆発等による損傷に伴う原子炉建屋の構造への影響及び耐震性評価は、基準地震動 Ss を用いることを基本とし、建物・構築物や地盤の応答性状を適切に表現できるモデルを設定した上で行う。なお、基準地震動 Ss-3 については、基準地震動 Ss-1 及び Ss-2 の応答結果に比べて、過去の計算例(付録 1-1 参照)から明らかに小さいことが分かっているため、今回の検討では省略することとする。

地震応答解析モデルは、地盤との相互作用を考慮し、曲げおよびせん断剛性を考慮した質点 系モデルとする。

1号機原子炉建屋については、地震後の津波によって原子炉の冷却機能が喪失し、水素爆発等により原子炉建屋の一部が損傷している。ここでは、原子炉建屋の損傷状況は写真を基に推定し、損傷状況を地震応答解析モデルに反映することとする。

原子炉建屋の構造への影響及び耐震性の評価は、耐震安全上重要な設備への波及的影響防止の観点から、地震応答解析により得られた耐震壁のせん断ひずみと、鉄筋コンクリート造の耐震壁の終局限界に対応した評価基準値(4.0×10^{-3})との比較により行う。

なお、鉄筋コンクリート造の耐震壁の終局限界に対しては、水平方向の地震力が支配的であ り、鉛直方向の地震力の影響は少ないことから、地震応答解析は水平方向のみ実施する。

1号機原子炉建屋の地震応答解析の評価手順例を、図-1.1に示す。

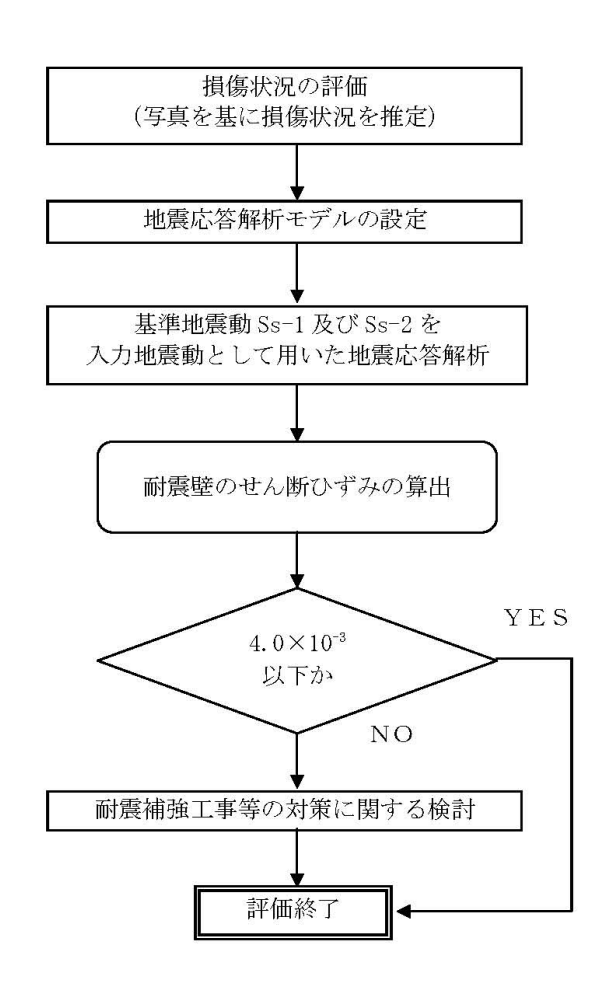


図-1.1 1号機原子炉建屋の地震応答解析の評価手順例

2. 損傷状況の評価

1号機原子炉建屋については、地震後の津波によって原子炉の冷却機能が喪失し、水素爆発等により原子炉建屋の一部が損傷している。原子炉建屋の損傷状況は写真を基に推定し、損傷状況を地震応答解析モデルに反映することとする。また、外観写真から判断できない部位については、建屋内の調査結果等の現状で得られている情報に基づいて、損傷の有無を評価した。

各部位の損傷状況評価の考え方を下記に示す。

a. 外壁・屋根トラス

外観の写真から損傷を確認できるオペレーティングフロアより上の外壁・屋根トラスについては、損傷部位として評価した。なお、オペレーティングフロアより下部の外壁については、写真より損傷が確認できないため、損傷は無いものと評価した(図-2.1)。なお、写真は3月24日に撮影されたものを参考としているが、その後も外壁が崩落する等の変化は確認されていない。

b. その他部位

オペレーティングフロアより下部の外壁については損傷が確認されていないことから、オペレーティングフロアより下部の内壁等の部位についても損傷が無いものと評価した。





東面







南面

北面

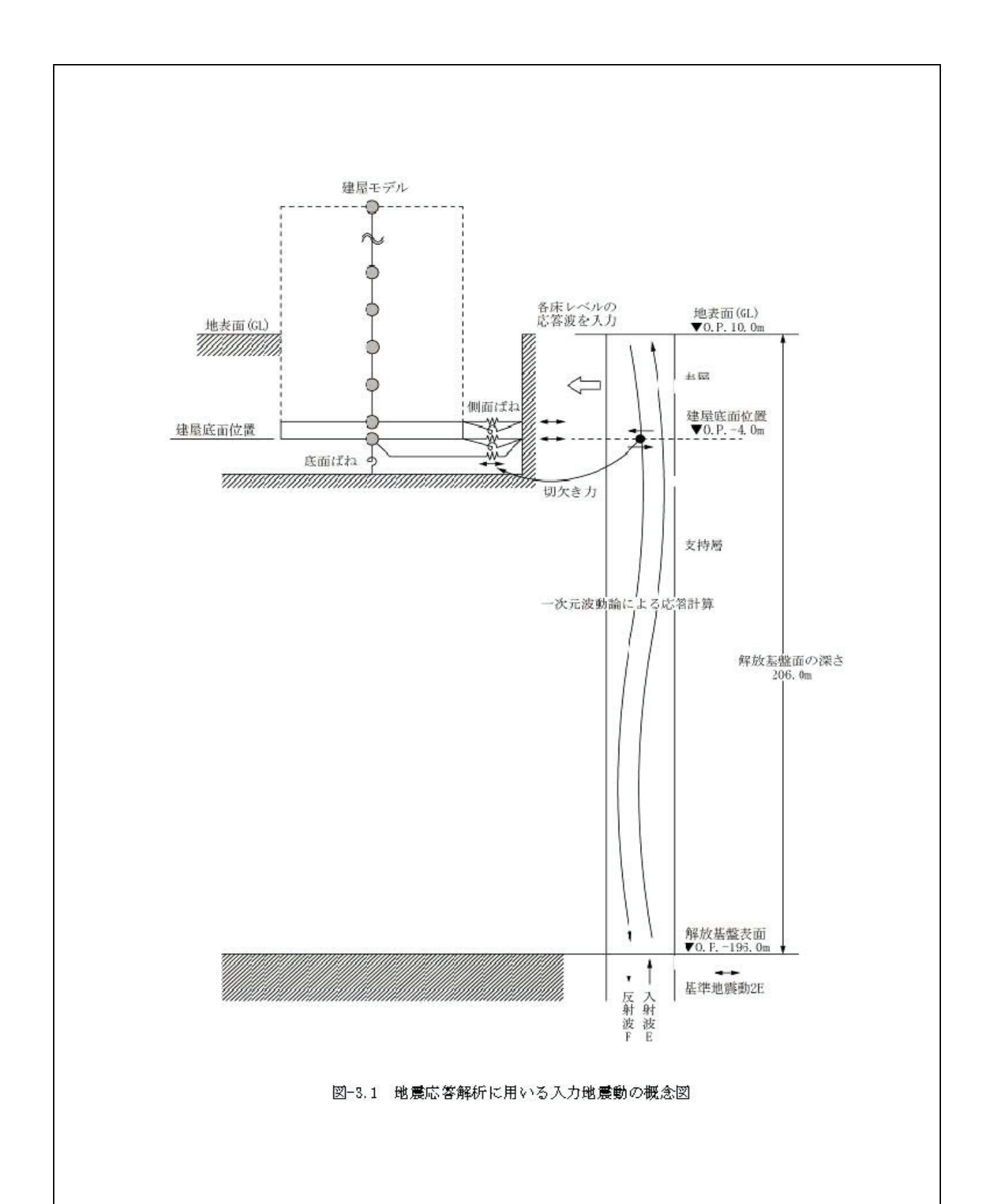
図-2.1 外壁の状況

3. 解析に用いる入力地震動

1号機原子炉建屋への入力地震動は、「福島第一原子力発電所 『発電用原子炉施設に関する耐震設計審査指針』の改訂に伴う耐震安全性評価結果 中間報告書」(原管発官19第603号 平成20年3月31日付け)にて作成した解放基盤表面レベルに想定する基準地震動Ss-1及びSs-2を用いることとする。

地震応答解析に用いる入力地震動の概念図を図-3.1 に示す。モデルに入力する地震動は、 一次元波動論に基づき、解放基盤表面レベルに想定する基準地震動 Ss に対する地盤の応答と して評価する。また、建屋基礎底面レベルにおけるせん断力を入力地震動に付加することによ り、地盤の切欠き効果を考慮する。

このうち、解放基盤表面位置 (0.P.-196.0m) における基準地震動 Ss-1 及び Ss-2 の加速度 波形について、図-3.2 に示す。



6

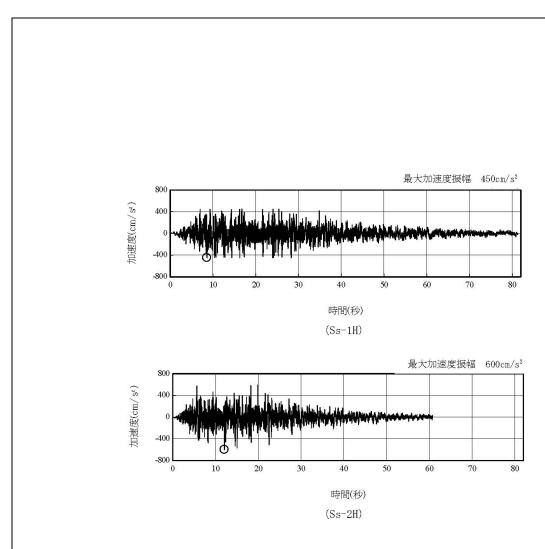


図-3.2 解放基盤表面位置における地震動の加速度時刻歴波形(水平方向)

4. 地震応答解析モデル

基準地震動 Ss に対する原子炉建屋の地震応答解析は、「3. 解析に用いる入力地震動」で算定した入力地震動を用いた動的解析による。

本検討では、「福島第一原子力発電所 『発電用原子炉施設に関する耐震設計審査指針』の 改訂に伴う耐震安全性評価結果 中間報告書(改訂版)」(原管発官 21 第 110 号 平成 21 年 6 月 19 日付け)にて作成した地震応答解析モデルを基に、次の項目について修正を加え、新た な地震応答解析モデルを構築することとしている。

1号機原子炉建屋については、地震後の津波によって原子炉の冷却機能が喪失し、水素爆発等により原子炉建屋の一部が損傷していることから、「2.損傷状況の評価」で評価した損傷状況を基に解析モデルを作成する。なお、オペレーティングフロア上部の損傷した鉄骨フレーム及び屋根はモデル化しないこととし、崩れた部分の重量は下階の床で支持されていると仮定する。1号機原子炉建屋の損傷状況(立面図)を図-4.1に、損傷状況(平面図)を図-4.2に示す。

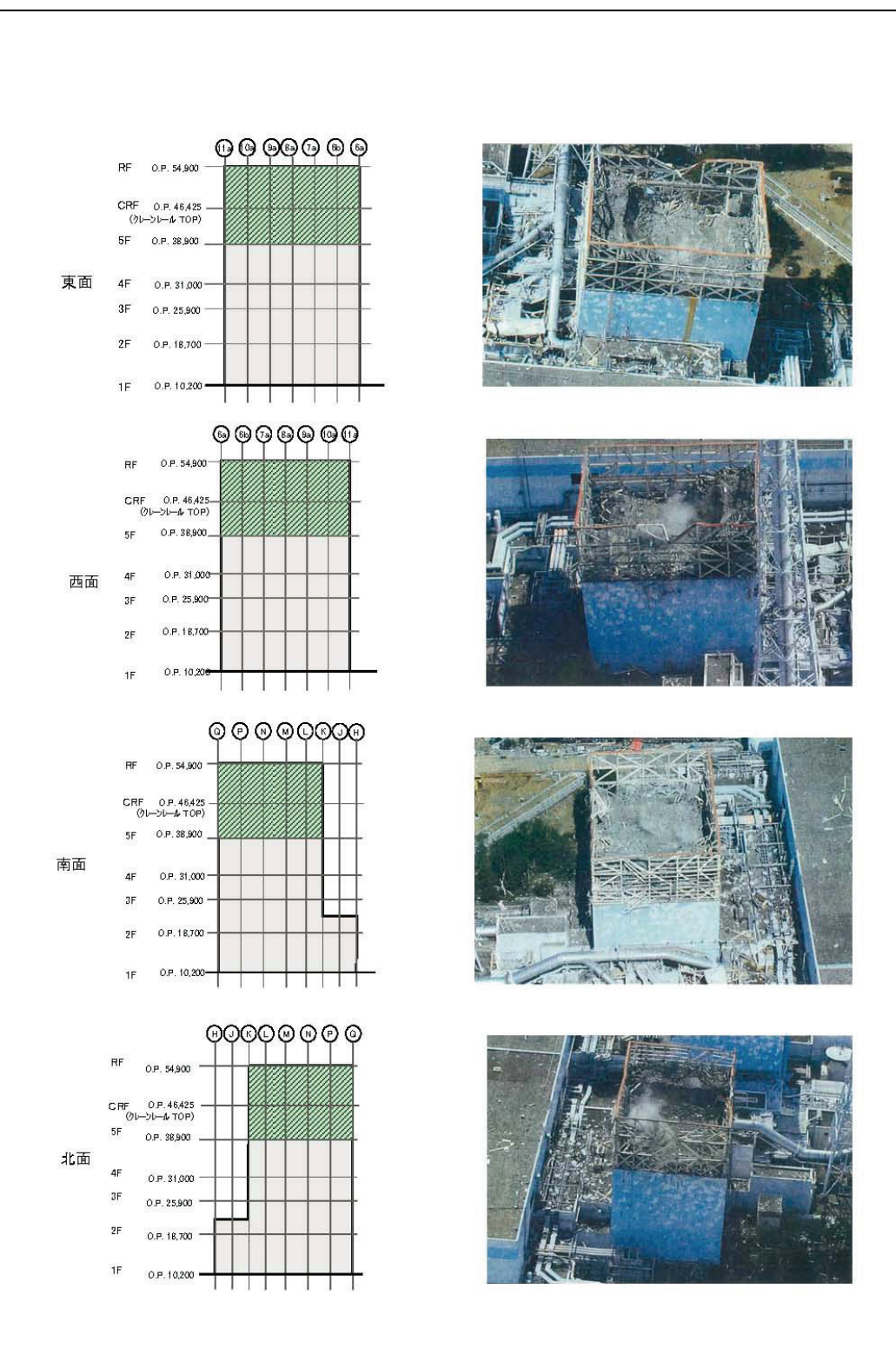
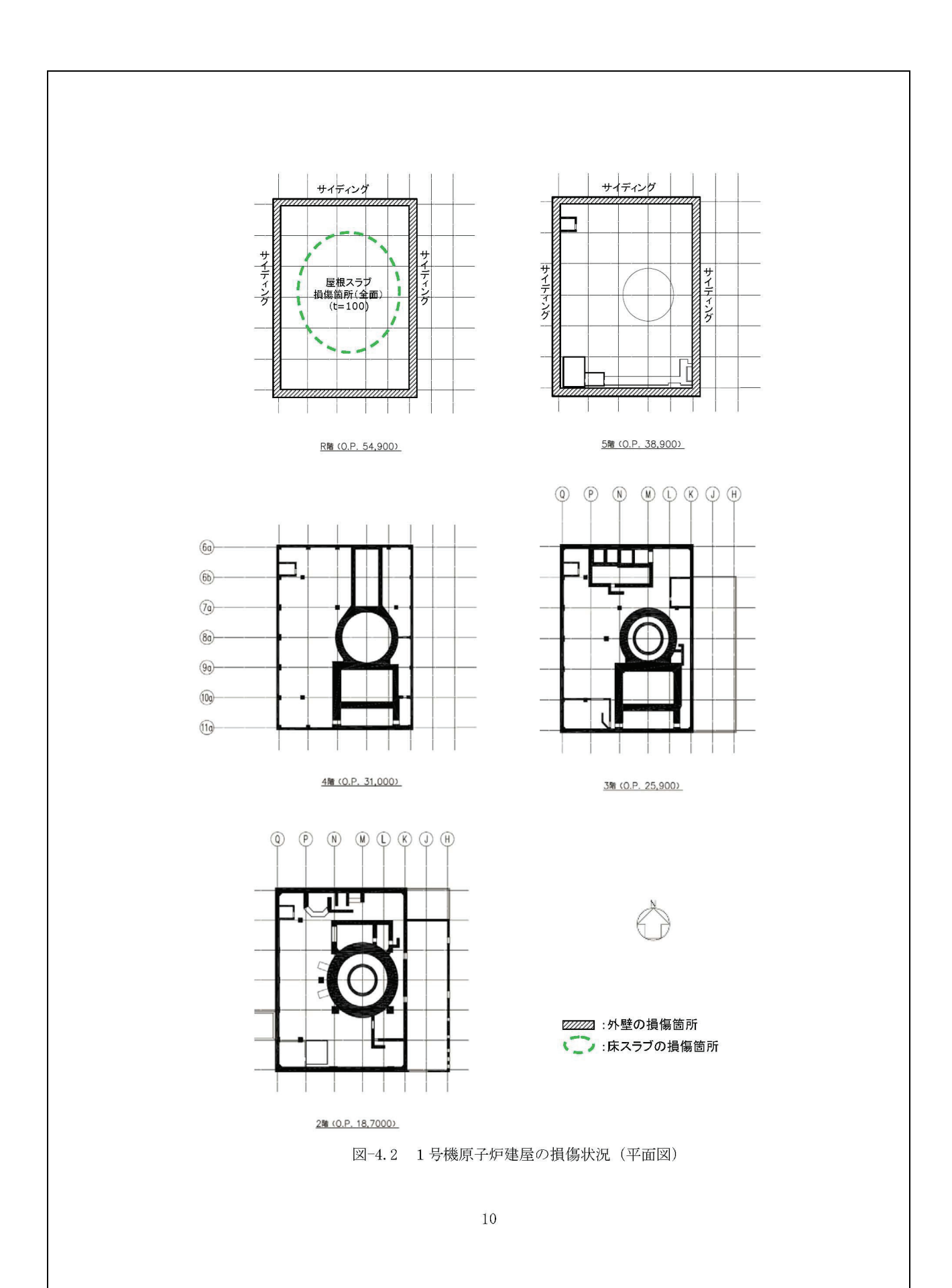


図-4.1 1号機原子炉建屋の損傷状況(立面図)



(1) 水平方向の地震応答解析モデル

水平方向の地震応答解析モデルは、図-4.3 および図-4.4 に示すように、建屋を曲げ変形とせん断変形をする質点系とし、地盤を等価なばねで評価した建屋ー地盤連成系モデルとする。建屋ー地盤連成系としての効果は地盤ばねおよび入力地震動によって評価される。解析に用いるコンクリートの物性値を表-4.1 に、建屋解析モデルの諸元を表-4.2 に示す。地盤定数は、水平成層地盤と仮定し、地震時のせん断ひずみレベルを考慮して定めた。解析に用いた地盤定数を表-4.3 に示す。

水平方向の解析モデルにおいて、基礎底面地盤ばねについては、「JEAG 4601-1991」に示された手法を参考にして、成層補正を行ったのち、振動アドミッタンス理論に基づいて、スウェイおよびロッキングばね定数を近似的に評価する。また、埋め込み部分の建屋側面地盤ばねについては、建屋側面位置の地盤定数を用いて、水平および回転ばねを「JEAG 4601-1991」に示された手法を参考にして、Novak ばねに基づく近似法により評価する。

地盤ばねは振動数に依存した複素剛性として得られるが、図-4.5 に示すようにばね定数 (Kc) として実部の静的な値を、また、減衰係数 (Cc) として建屋-地盤連成系の 1 次固有振動数に対応する虚部の値と原点を結ぶ直線の傾きを採用することにより近似する。

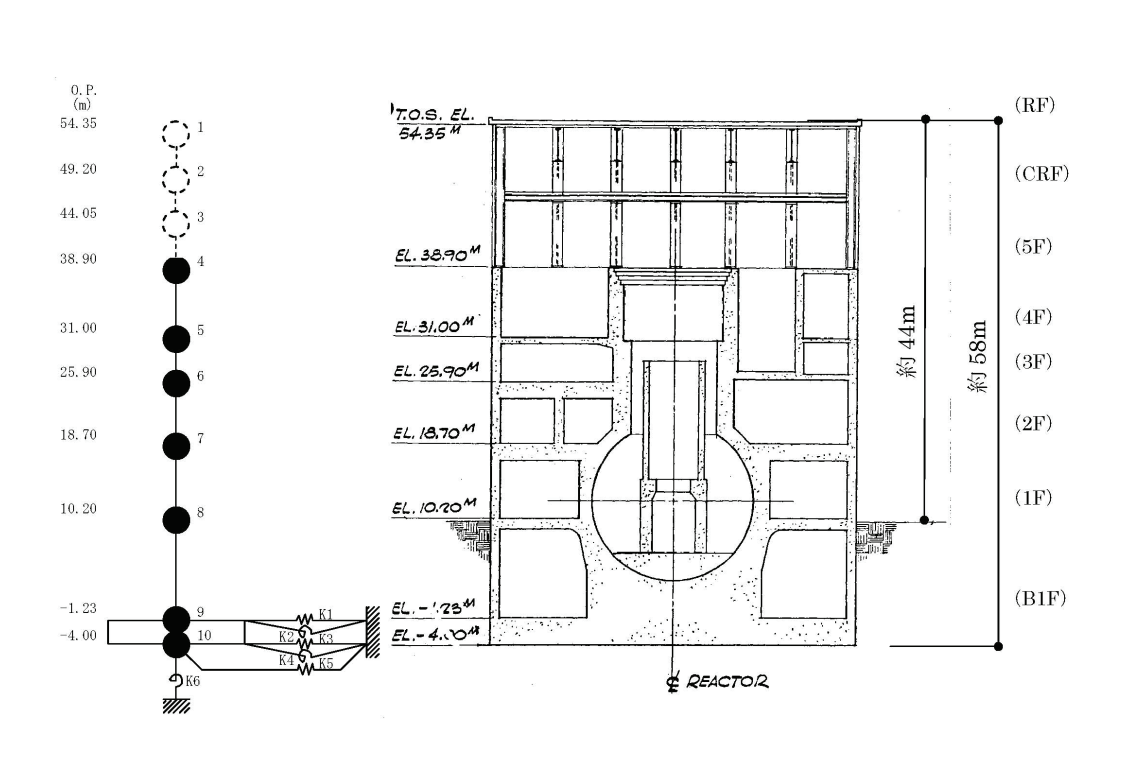


図-4.3 1号機原子炉建屋 地震応答解析モデル (NS 方向)

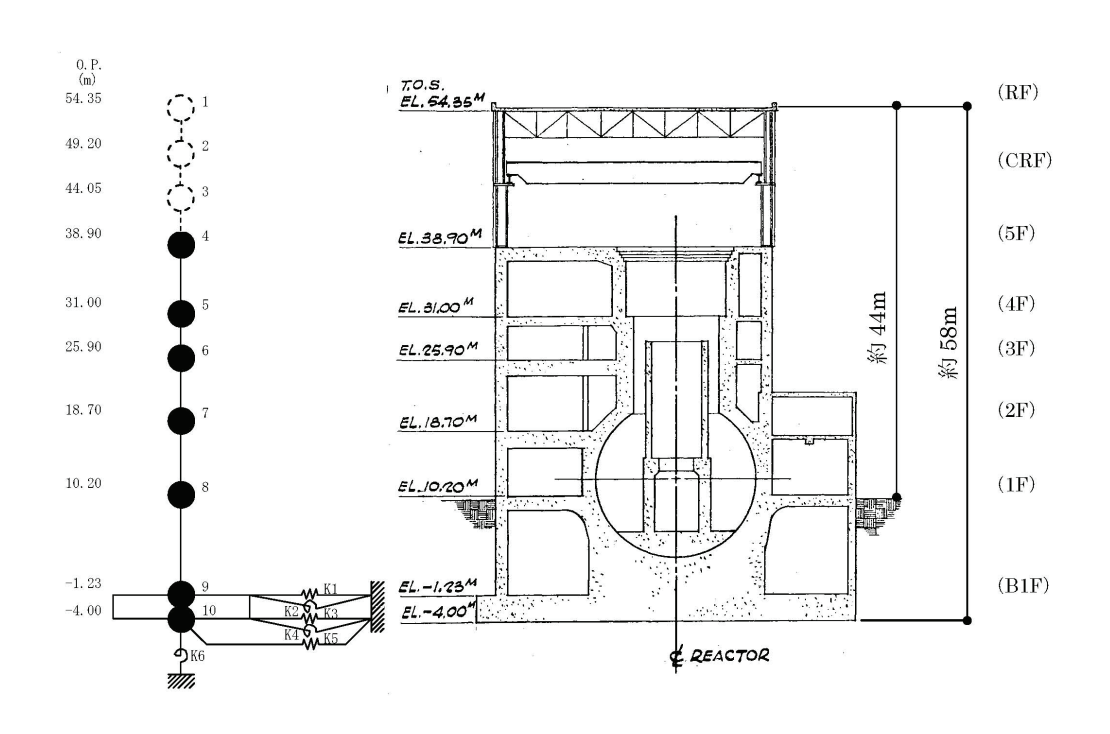


図-4.4 1号機原子炉建屋 地震応答解析モデル (EW 方向)

表-4.1 地震応答解析に用いる物性値

コン クリ	強度*1 Fc (N/mm²)	ヤング係数*2 E (N/mm²)	せん断弾性係数*2 G (N/mm²)	ポアソン 比 v	単位体積重量*3 ッ (kN/m³)			
<i>></i> − <i> </i> -	35. 0	2.57×10^4	1.07×10^4	0. 2	24			
鉄筋		SD345相当 (SD35)						
鋼材			SS400相当 (SS41)					

*1:強度は実状に近い強度(以下「実強度」という。)を採用した。実強度の設定は、過去の圧縮 強度試験データを収集し試験データのばらつきを考慮し圧縮強度平均値を小さめにまるめた 値とした。

*2:実強度に基づく値を示す。 *3:鉄筋コンクリートの値を示す。

表-4.2 建屋解析モデルの諸元

(NS 方向)

質点番号	質点重量 W(kN)	回転慣性重量 I _g (×10 ⁵ kN·m ²)	せん断断面積 A _S (m²)	断面2次モーメント I(m ⁴)
1	=			
2	-			<u> </u>
:3	-	=	<u> </u>	_
4	58, 690	84. 43	=	15
5	67, 910	97, 77	135, 0	16, 012
6	77, 220	111, 11	160.8	21,727
7	87, 200	125, 53	132.8	24, 274
8	146, 020	210, 16	155, 6	36, 481
			294. 0	52, 858
9	147, 070	211, 73	1, 914. 3	275, 530
10	62, 400	89, 83		
合計	646, 510	ヤング係数 E_C せん断弾性係数 G	$2.57 \times 10^{7} \text{ (kN/m}^2$ $1.07 \times 10^{7} \text{ (kN/m}^2$	

ボアソン比 v 0.20 減衰か 5% (鉄骨部 2%) 基礎形状 41.56m(NS方向)×43.56m(EW方向)

(EW 方向)

質点番号	質点重量 W(kN)	回転慣性重量 I _G (×10 ⁵ kN·m ²)	せん断断面積 A _S (m²)	断面2次モーメント I(m ⁴)
1	-	_		
2	7			_
-3	-	-	=	s
4	58, 690	48, 34	Ī	s
-5	67, 910	55, 90	102, 7	9, 702
6	883	63, 55	163. 9	13, 576
	77, 220	etternerettint	131, 6	14, 559
7	87, 200	125, 53	197.8	36, 427
8	146, 020	210.16	294, 0	52, 858
9	147, 070	259, 97	W1000-M000-M100	#477-9000740FK
10	62, 400	110.32	1, 914. 3	338, 428
合計	646, 510	ヤング係数Ec	$2.57 \times 10^{7} \text{ (kN/m}^2$	

世ん断弾性係数 G 1.07×10⁷ (kN/m²) ポアソン比 v 0.20 減衰 5% (鉄骨部 2%) 基礎形状 41.56m(NS方向)×43.56m(EW方向)

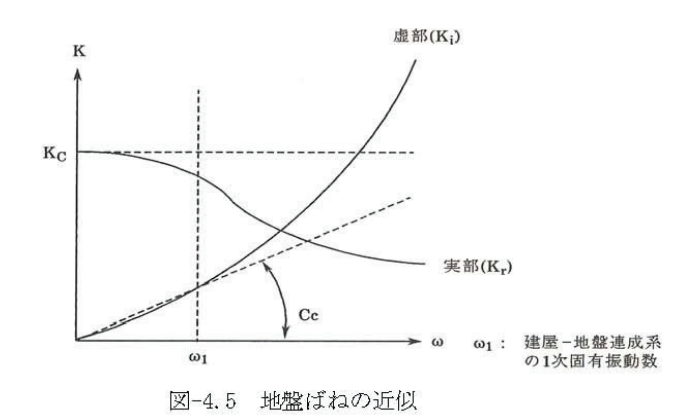
表-4.3 地盤定数

 $(S_{S}-1)$

標 高 O.P. (m)	地質	S波速度 Vs (m/s)	単位体積 重量	ポアソン比 v	初期せん断 弾性係数 G _o (kN/m²)	剛性低下率 G/G ₀	ぜん断弾性 係数 G (kN/m²)	剛性低下後 S波速度 Vs (m/s)	減衰定数 h (%)
10.0_									
1.9	砂岩	380	17.8	0.473	262,000	0.85	223,000	351	3
-10.0_		450	16.5	0.464	341,000		266,000	398	
-80.0	,,,,,,	500	17.1	0.455	436,000	0.78	340,000	442	3
-108.0	泥岩	560	17.6	0.446	563,000	U.78	439,000	495	3
-196.0		600	17.8	0.442	653,000		509,000	530	
-	解放基盤	700	18.5	0.421	924,000	1.00	924,000	700	100

(Ss-2)

標 高 O.P. (m)	地 質	S波速度 Vs (m/s)	単位体積 重量 γt (kN/m³)	ポアソン比 ν	初期せん断 弾性係数 G _o (kN/m ²)	剛性低下率 G/G ₀	せん断弾性 係数 G (kN/m²)	剛性低下後 S波速度 Vs (m/s)	減衰定数 h (%)
10.0_									
1.9_	砂岩	380	17.8	0.473	262,000	0.85	223,000	351	3
-10.0		450	16.5	0.464	341,000		2 76,000	405	
-80.0	2014	500	17.1	0.455	43 6,000		353,000	450	
-108.0	泥岩	560	17.6	0.446	563,000	0.81	456,000	504	3
-196.0		600	17.8	0.442	653,000		529,000	540	
0.000.000.000	解放基盤	700	18.5	0.421	924,000	1.00	924,000	700	9 — 3



5. 地震応答解析結果

地震応答解析により求められた NS 方向、EW 方向の最大応答加速度を図-5.1 および図-5.2 に示す。

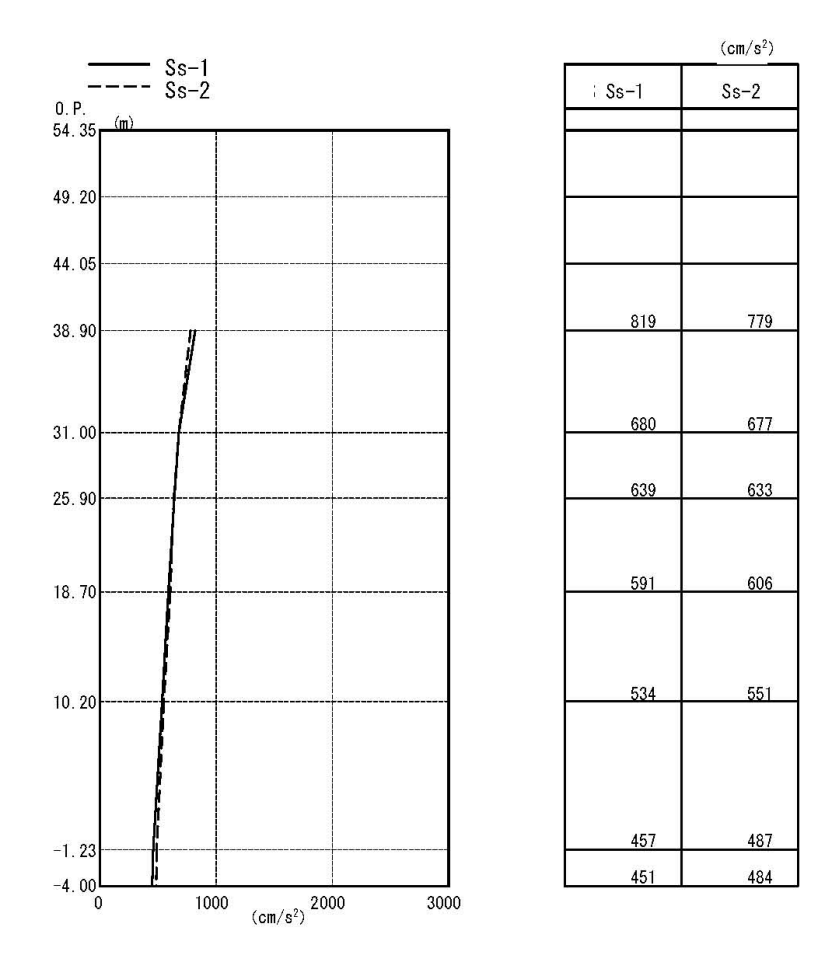


図-5.1 最大応答加速度 (NS 方向)

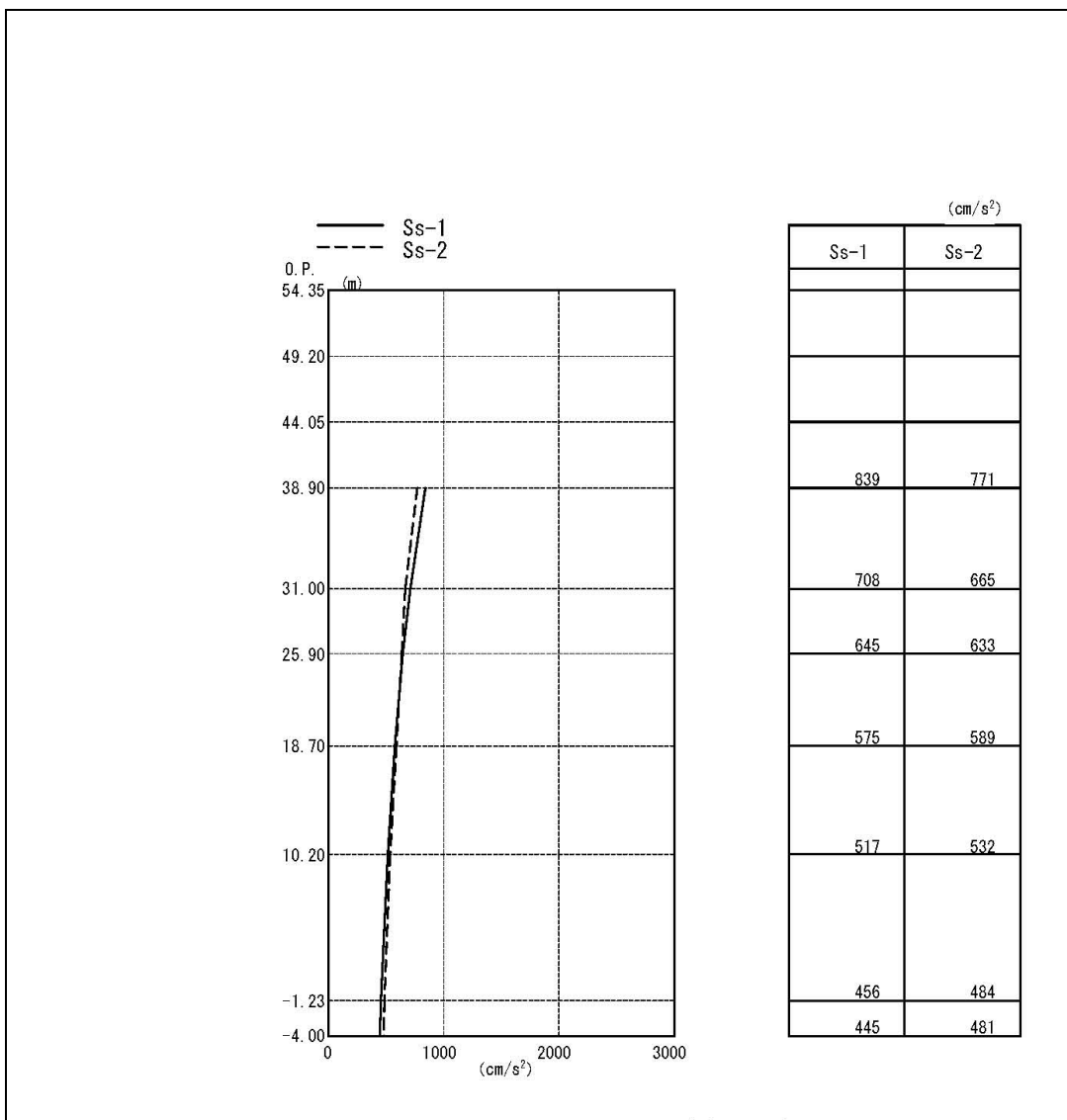


図-5.2 最大応答加速度(EW方向)

6. 耐震安全性評価結果

図-6.1, 図-6.2 及び図-6.3, 図-6.4 に基準地震動 Ss-1 及び基準地震動 Ss-2 に対する最大 応答値を耐震壁のせん断スケルトン曲線上に示す。せん断ひずみは,最大で 0.12×10^{-3} (Ss-1H 及び Ss-2H, NS 方向, 1F) であり,評価基準値(4.0×10^{-3})に対して十分余裕がある。

以上のことから,原子炉建屋は耐震安全上重要な設備に波及的影響を与えないものと評価した。

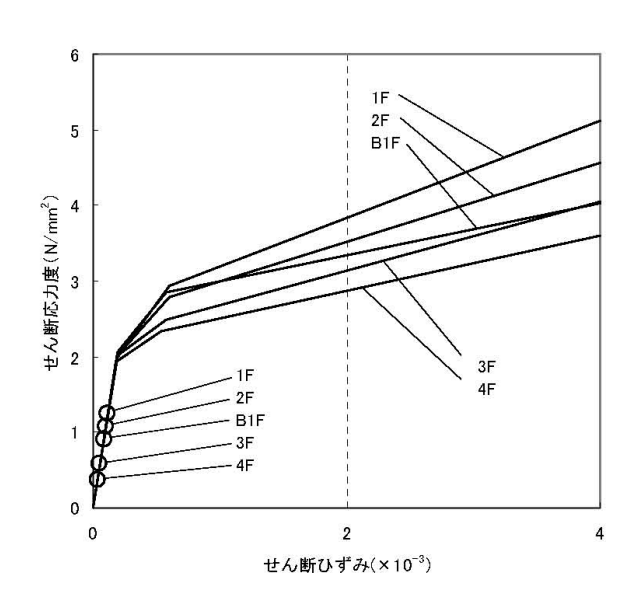


図-6.1 せん断スケルトン曲線上の最大応答値(Ss-1, NS 方向)

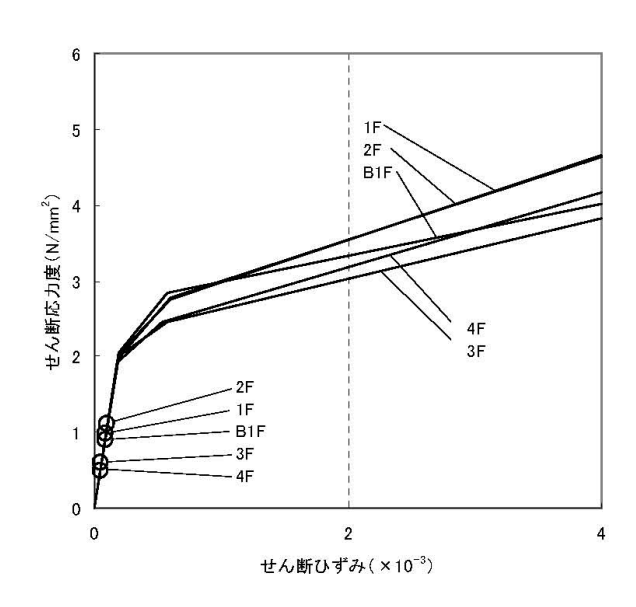


図-6.2 せん断スケルトン曲線上の最大応答値(Ss-1, EW 方向)

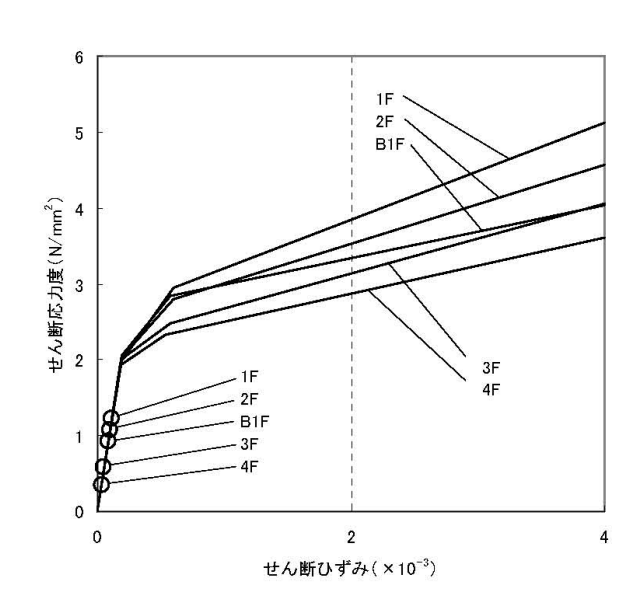


図-6.3 せん断スケルトン曲線上の最大応答値(Ss-2, NS 方向)

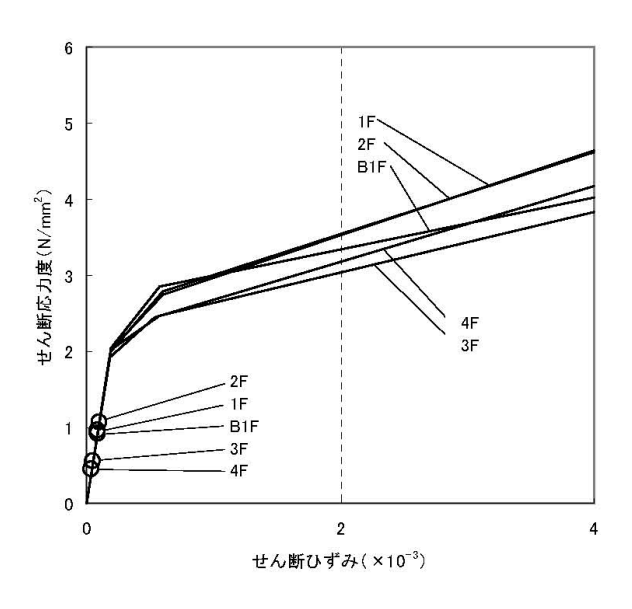


図-6.4 せん断スケルトン曲線上の最大応答値(Ss-2, EW 方向)

付録 1-1

『発電所原子炉施設に関する耐震設計審査指針』の改訂に伴う耐震安全性評価結果

「福島第一原子力発電所 『発電用原子炉施設に関する耐震設計審査指針』の改訂に伴う耐震安全性評価結果 中間報告書(改訂版)」(原管発官 21 第 110 号 平成 21 年 6 月 19 日付け)に記載している 1 号機原子炉建屋の耐震安全性評価結果を抜粋して以下に示す。

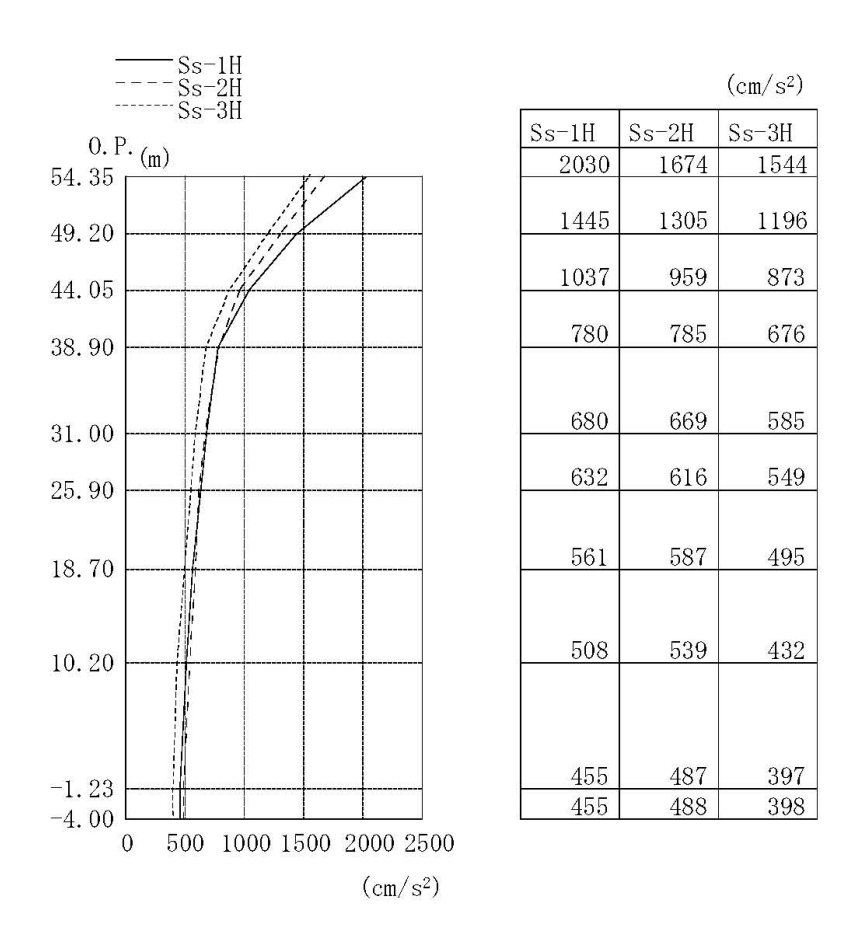
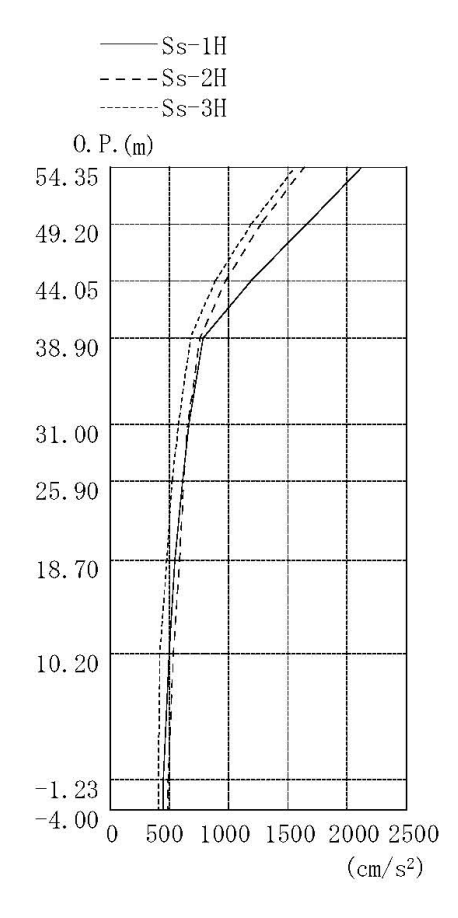


図-1 最大応答加速度(NS 方向)

付1-1.1



	,	(cm/s^2)
Ss-1H	Ss-2H	Ss-3H
2123	1635	1557
1658	1270	1190
1190	973	886
785	758	677
3648477 PPM-1775	M007704 TO	27000000000000
663	654	577
611	621	522
545	584	478
496	533	418
100	000	110
449	489	407
449	487	409

図-2 最大応答加速度(EW方向)

付 1-1.2

表-1 耐震壁のせん断ひずみ一覧 (NS 方向)

 $(\times 10^{-3})$

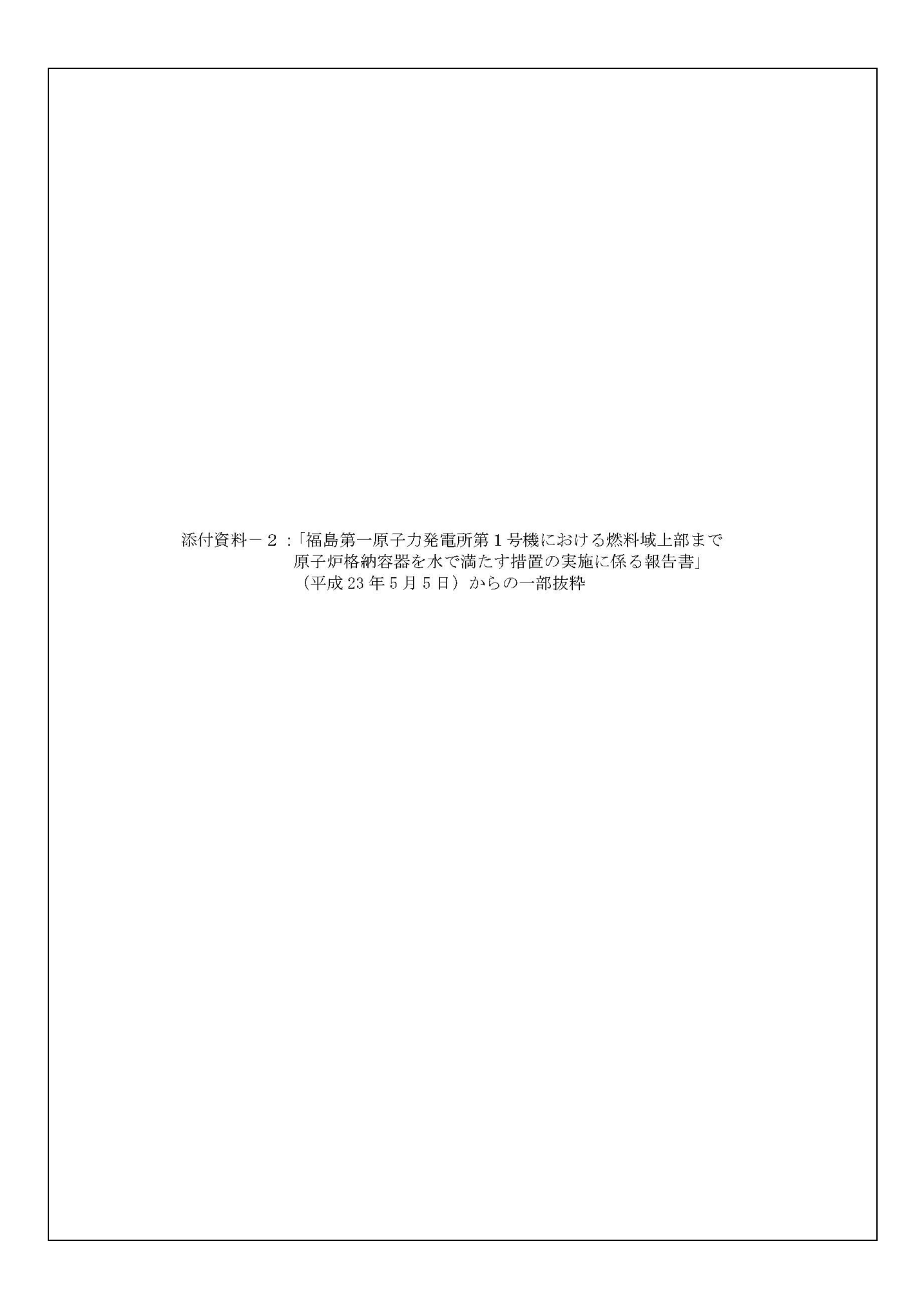
				$\langle \wedge 10 \rangle$
階	Ss-1H	Ss-2H	Ss-3H	評価基準値
4F	0.04	0.04	0.03	
3F	0.06	0.06	0.05	
2F	0.10	0.10	0.09	2.0以下
1F	0.12	0.12	0.10	
B1F	0.08	0.09	0.07	

表-2 耐震壁のせん断ひずみ一覧 (EW 方向)

 $(\times 10^{-3})$

	10	7	17	(//10 /
階	Ss-1H	Ss-2H	Ss-3H	評価基準値
4F	0.05	0.05	0.04	
3F	0.06	0.05	0.05	
2F	0.10	0.10	0.09	2.0以下
1F	0.09	0.09	0.08	
B1F	0.08	0.09	0.07	

以上



原子炉格納容器内の水位上昇に伴う原子炉建屋の構造への影響及び耐震性評価結果

1. 解析評価方針

原子炉格納容器内の水位上昇に伴う原子炉建屋の構造への影響及び耐震性評価は、設計用地震力(基準地震動 Ss による地震力)を用いることを基本とし、建物・構築物や地盤の応答性状を適切に表現できるモデルを設定した上で行う。なお、基準地震動 Ss-3 については、基準地震動 Ss-1 及び Ss-2 の応答結果に比べて、過去の計算例から明らかに小さいことが分かっているため、今回の検討では省略することとする。

地震応答解析モデルは、地盤との相互作用を考慮し、曲げおよびせん断剛性を考慮した質点 系モデルとする。

1号機原子炉建屋については、地震後の津波によって原子炉の冷却機能が喪失し、水素爆発等により原子炉建屋の一部が損傷している。ここでは、原子炉建屋の損傷状況は写真を基に推定し、損傷状況を地震応答解析モデルに反映することとする。

なお,原子炉格納容器内の水位上昇に伴う質量増分は原子炉建屋モデルの質点に質量を加算する。

原子炉建屋の構造への影響及び耐震性の評価は、耐震安全上重要な設備への波及的影響防止の観点から、地震応答解析により得られた耐震壁のせん断ひずみと、鉄筋コンクリート造の耐震壁の終局限界に対応した評価基準値(4.0×10⁻³)との比較により行う。

なお、鉄筋コンクリート造の耐震壁の終局限界に対しては、水平方向の地震力が支配的であり、鉛直方向の地震力の影響は少ないことから、地震応答解析は水平方向のみ実施する。

上記の検討により、耐震余裕度が比較的少ない場合には、さらに詳細な検討を行うこととす

1号機原子炉建屋の地震応答解析の評価手順例を、図-1.1に示す。

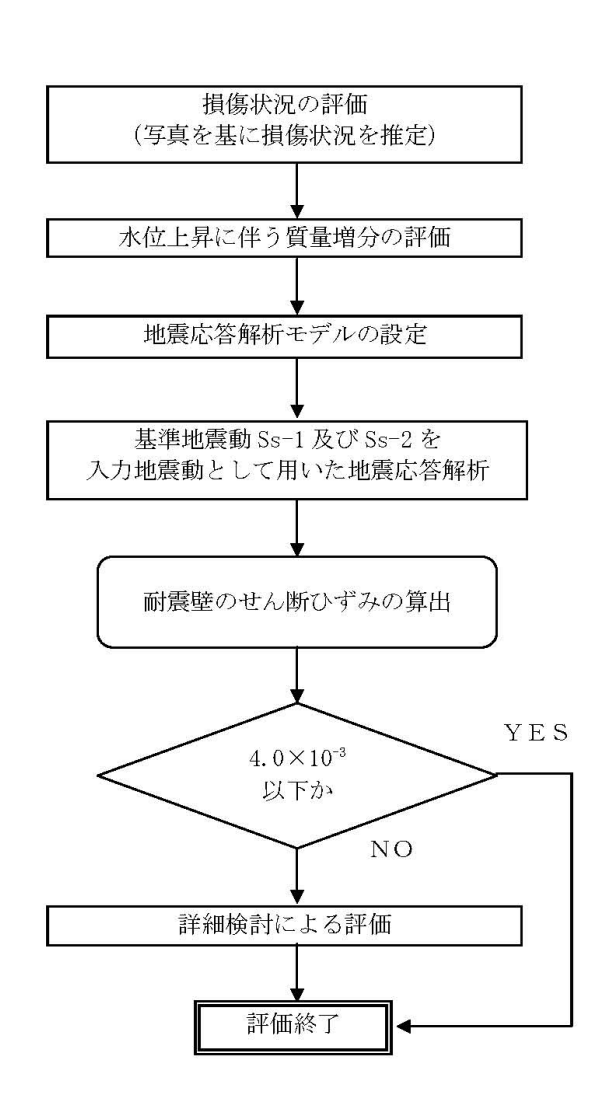


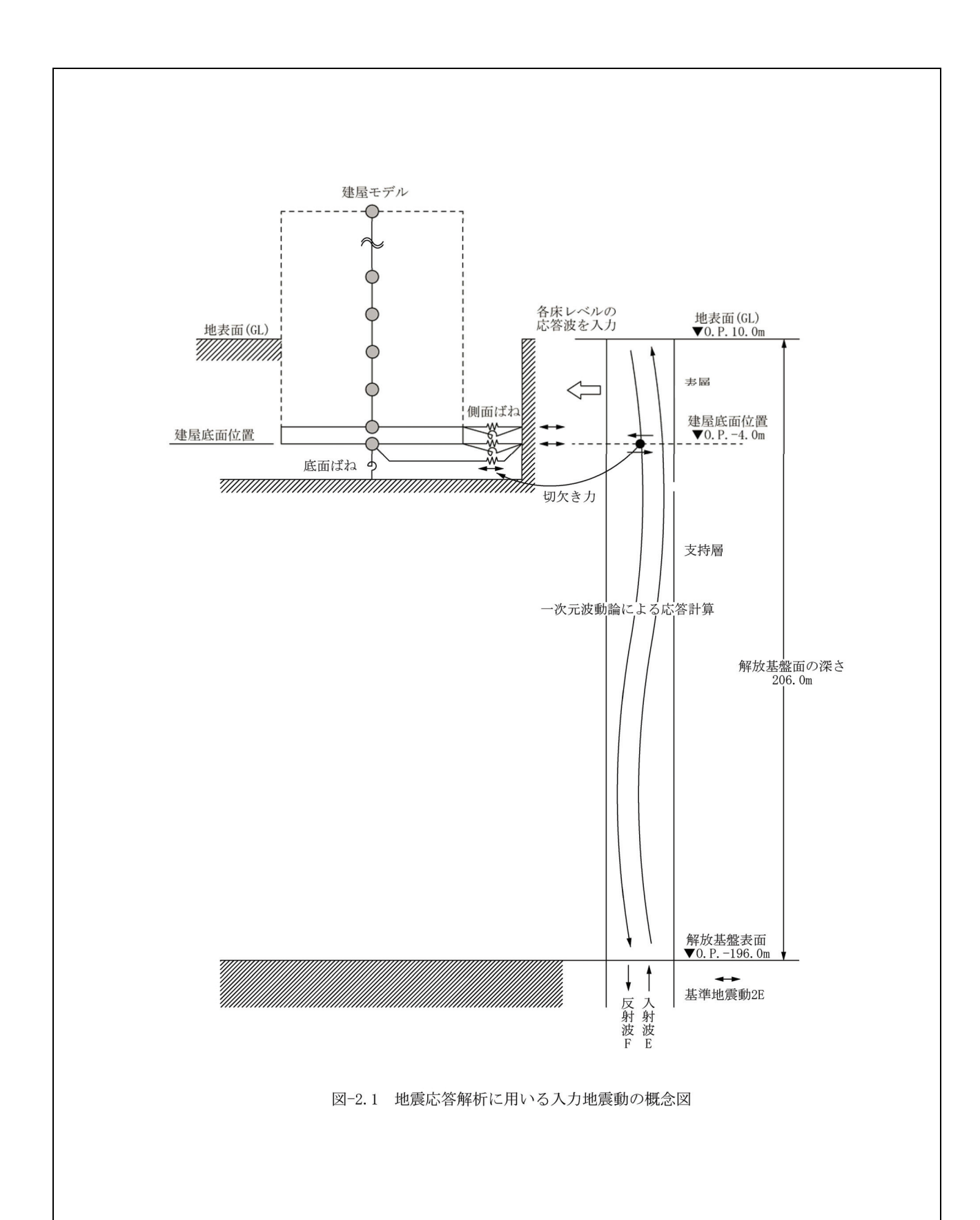
図-1.1 1号機原子炉建屋の地震応答解析の評価手順例

2. 解析に用いる入力地震動

1号機原子炉建屋への入力地震動は、「福島第一原子力発電所 『発電用原子炉施設に関する耐震設計審査指針』の改訂に伴う耐震安全性評価結果 中間報告書」(原管発官19第603号 平成20年3月31日付け)にて作成した解放基盤表面レベルに想定する基準地震動Ss-1及びSs-2を用いることとする。

地震応答解析に用いる入力地震動の概念図を図-2.1 に示す。モデルに入力する地震動は、 一次元波動論に基づき、解放基盤表面レベルに想定する基準地震動 Ss に対する地盤の応答と して評価する。また、建屋基礎底面レベルにおけるせん断力を入力地震動に付加することによ り、地盤の切欠き効果を考慮する。

このうち、解放基盤表面位置 (0.P.-196.0m) における基準地震動 Ss-1 及び Ss-2 の加速度 波形について、図-2.2 に示す。



4

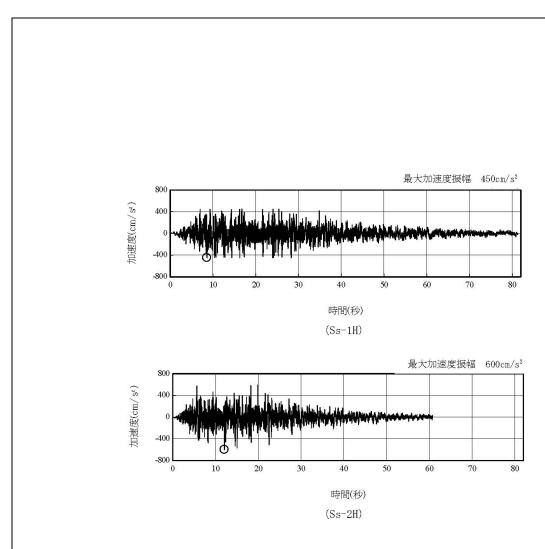


図-2.2 解放基盤表面位置における地震動の加速度時刻歴波形(水平方向)

3. 地震応答解析モデル

基準地震動 Ss に対する原子炉建屋の地震応答解析は、「2. 解析に用いる入力地震動」で算定した入力地震動を用いた動的解析による。

本検討では、「福島第一原子力発電所 『発電用原子炉施設に関する耐震設計審査指針』の 改訂に伴う耐震安全性評価結果 中間報告書(改訂版)」(原管発官 21 第 110 号 平成 21 年 6 月 19 日付け)にて作成した地震応答解析モデルを基に、次の 2 項目について修正を加え、新 たな地震応答解析モデルを構築することとしている。

- ①1号機原子炉建屋については、地震後の津波によって原子炉の冷却機能が喪失し、水素爆発等により原子炉建屋の一部が損傷している。原子炉建屋の損傷状況は写真を基に推定し、オペレーティングフロア上部の損傷した鉄骨フレーム及び屋根はモデル化しないこととする。また、崩れた部分の重量は下階の床で支持されていると仮定する。1号機原子炉建屋の損傷状況(立面図)を図-3.1に、損傷状況(平面図)を図-3.2に示す。
- ②原子炉格納容器内の水位上昇に伴う質量増分は,原子炉格納容器と原子炉建屋との接合部位における地震力の伝達を考慮した上で,原子炉建屋モデルの複数の質点に質量を分配して加算する。

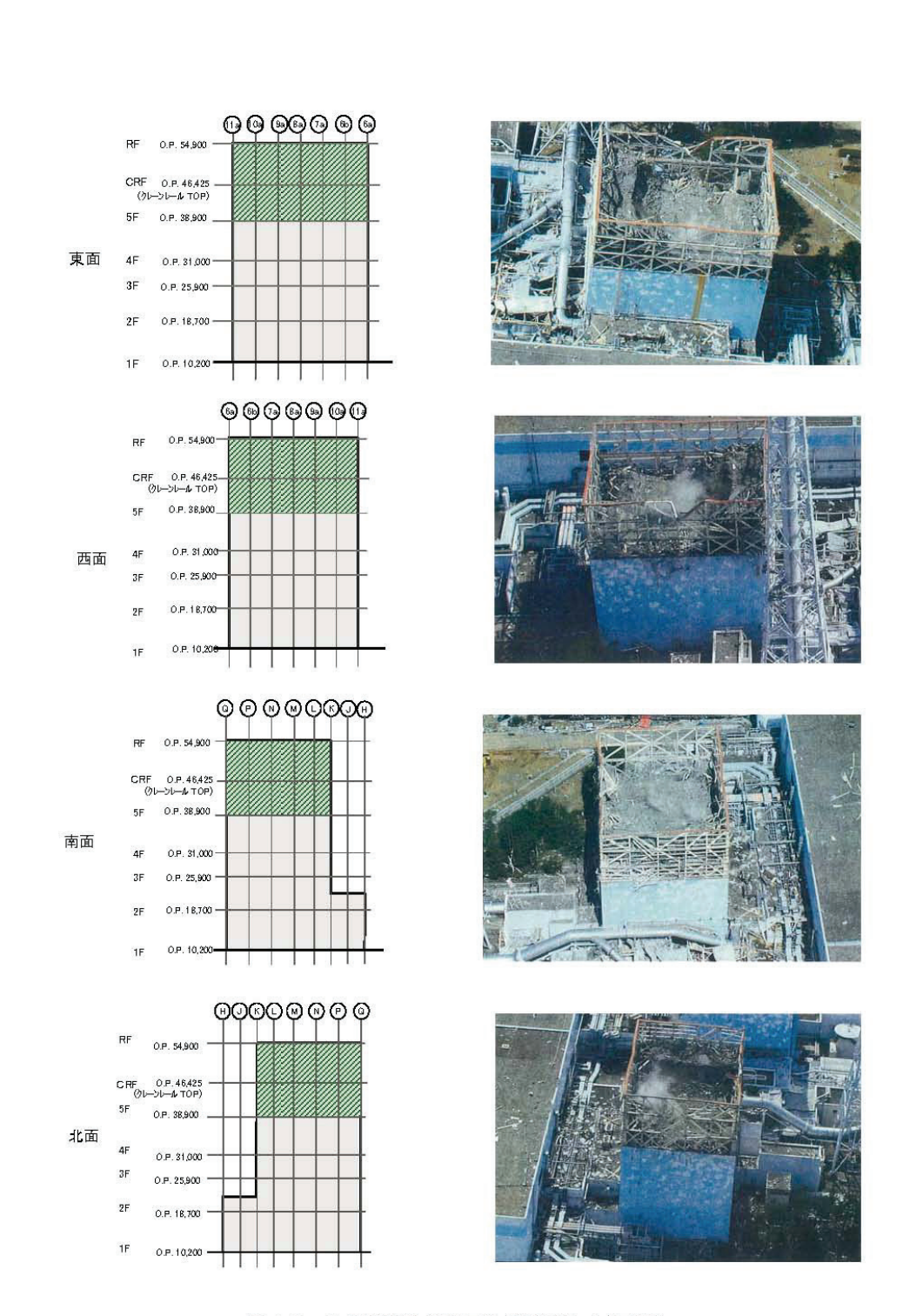
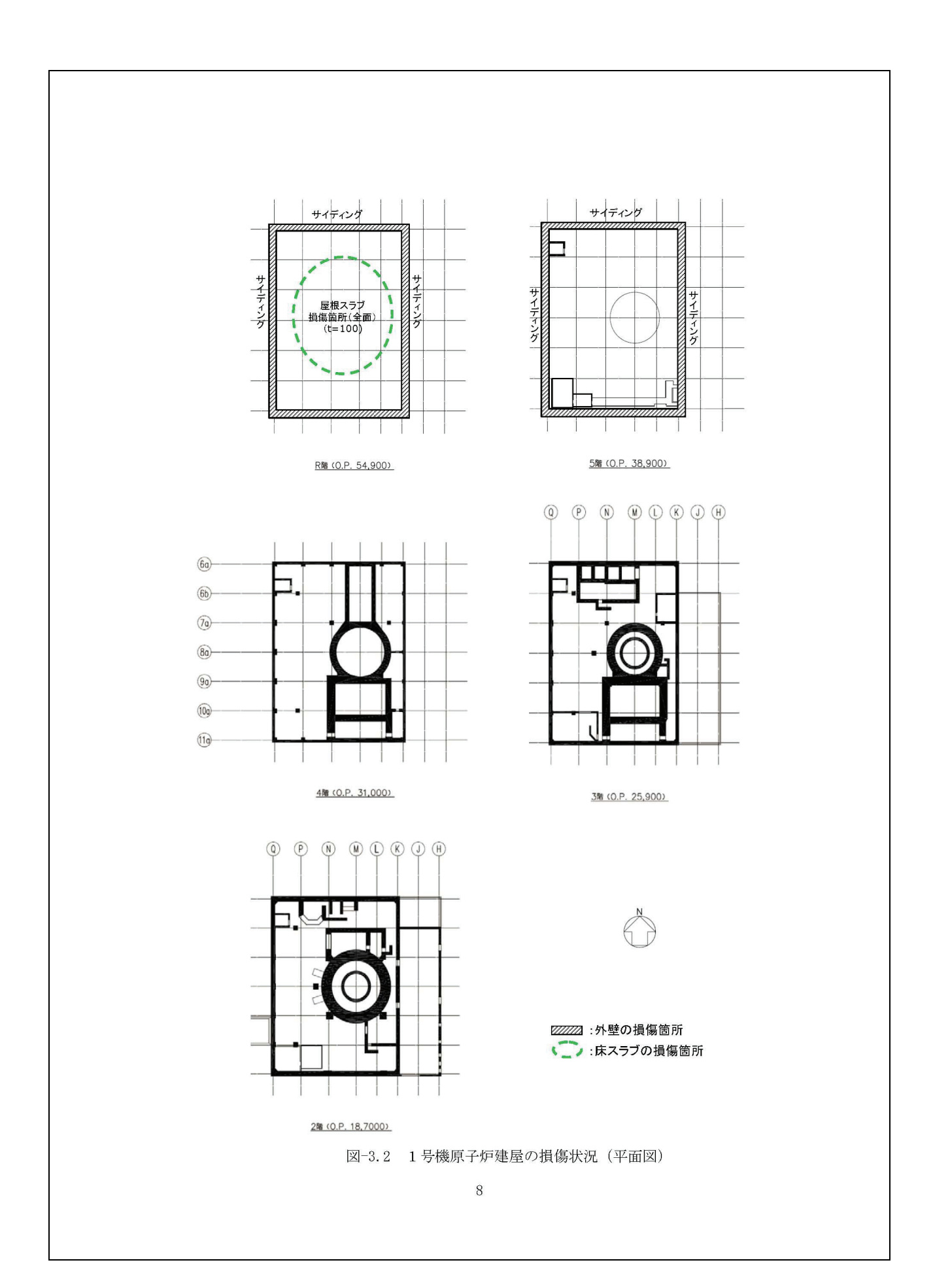


図-3.1 1号機原子炉建屋の損傷状況(立面図)



(1) 水平方向の地震応答解析モデル

水平方向の地震応答解析モデルは、図-3.3 および図-3.4 に示すように、建屋を曲げ変形とせん断変形をする質点系とし、地盤を等価なばねで評価した建屋ー地盤連成系モデルとする。建屋ー地盤連成系としての効果は地盤ばねおよび入力地震動によって評価される。解析に用いるコンクリートの物性値を表-3.1 に、建屋解析モデルの諸元を表-3.2 に示す。地盤定数は、水平成層地盤と仮定し、地震時のせん断ひずみレベルを考慮して定めた。解析に用いた地盤定数を表-3.3 に示す。

水平方向の解析モデルにおいて、基礎底面地盤ばねについては、「JEAG 4601-1991」に示された手法を参考にして、成層補正を行ったのち、振動アドミッタンス理論に基づいて、スウェイおよびロッキングばね定数を近似的に評価する。また、埋め込み部分の建屋側面地盤ばねについては、建屋側面位置の地盤定数を用いて、水平および回転ばねを「JEAG 4601-1991」に示された手法を参考にして、Novak ばねに基づく近似法により評価する。

地盤ばねは振動数に依存した複素剛性として得られるが、図-3.5 に示すようにばね定数 (Ke) として実部の静的な値を、また、減衰係数 (Ce) として建屋-地盤連成系の1 次固有振動数に対応する虚部の値と原点を結ぶ直線の傾きを採用することにより近似する。

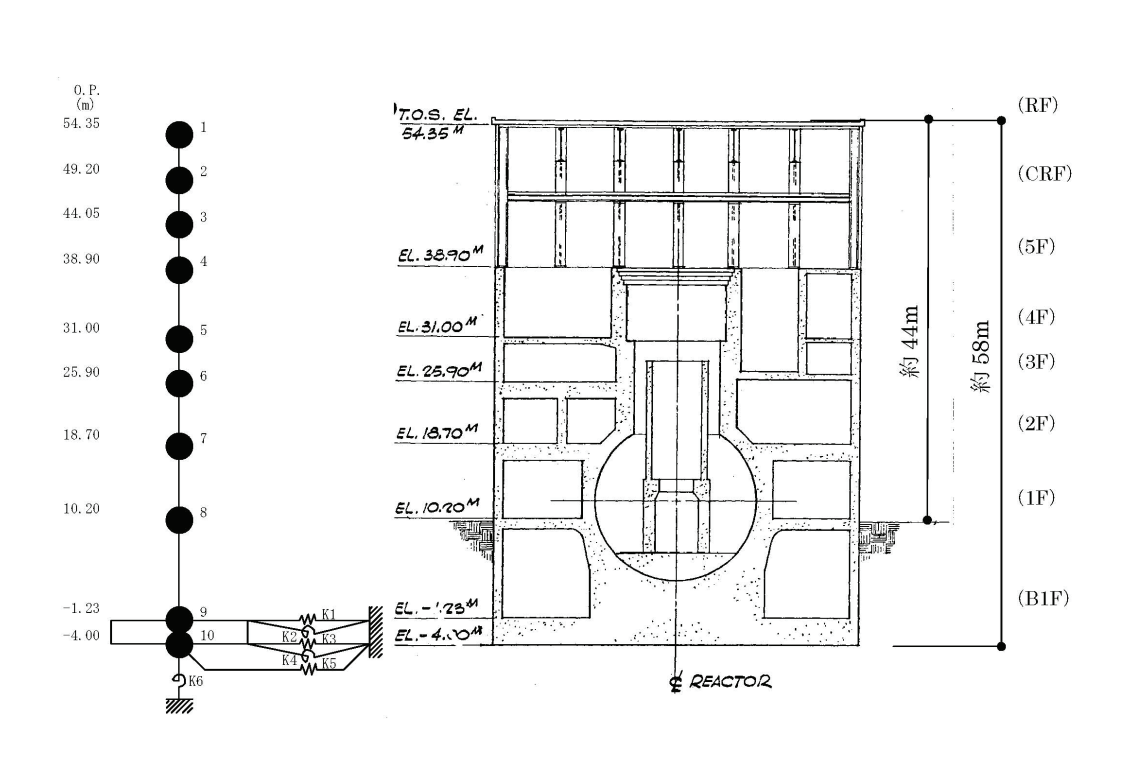


図-3.3 1号機原子炉建屋 地震応答解析モデル (NS 方向)

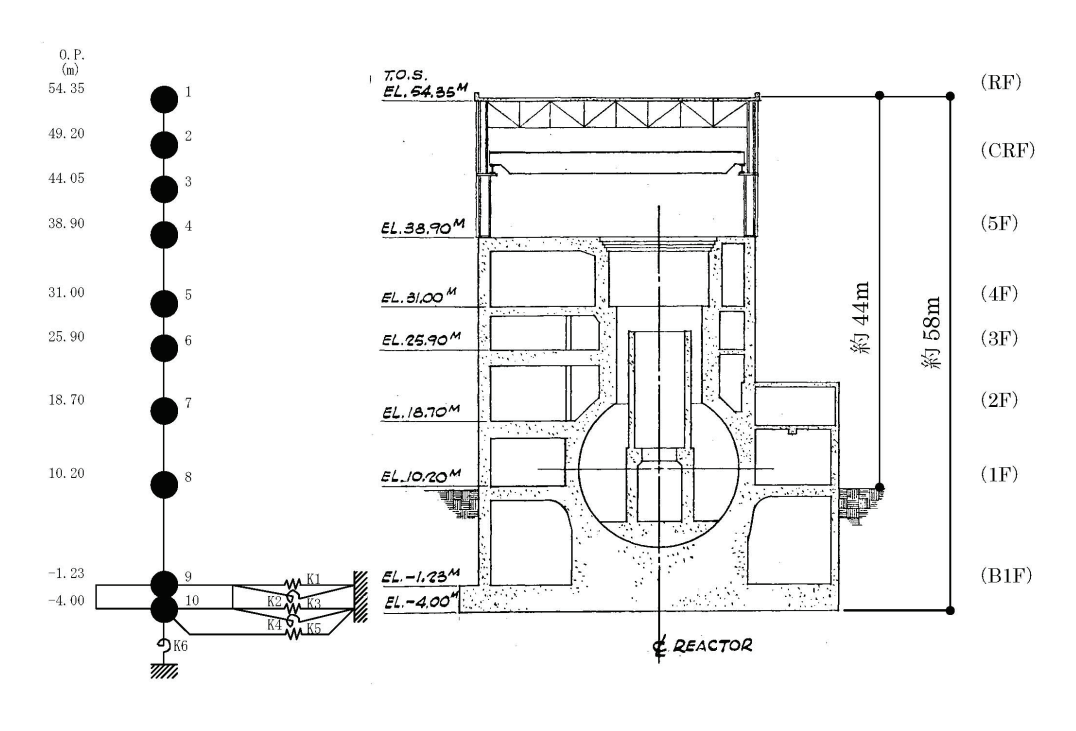


図-3.4 1号機原子炉建屋 地震応答解析モデル (EW 方向)

表-3.1 地震応答解析に用いる物性値

コン クリ	強度*1 Fc (N/mm²)	ヤング係数*2 E (N/mm²)	せん断弾性係数*2 G (N/mm²)	ポアソン 比 v	単位体積重量*3 γ (kN/m³)			
<i>></i> − <i> </i> -	35. 0	2.57×10^4	1.07×10^4	0. 2	24			
鉄筋		SD345相当 (SD35)						
鋼材			SS400相当 (SS41)					

*1:強度は実状に近い強度(以下「実強度」という。)を採用した。実強度の設定は、過去の圧縮 強度試験データを収集し試験データのばらつきを考慮し圧縮強度平均値を小さめにまるめた 値とした。

*2:実強度に基づく値を示す。 *3:鉄筋コンクリートの値を示す。

表-3.2 建屋解析モデルの諸元

(NS 方向)

質点番号	質点重量 *1 W(kN)	回転慣性重量 *1 I ₆ (×10 ⁵ kN·m ²)	せん断断面積 A _s (m²)	断面2次モーメント I(m ⁴)
1	4=1	_		
2	-		=	=
3	-	=		3 3
4	58, 690	84, 43	s 	s -
5	67, 910	97,77	135. 0	16, 012
6	80, 900	116, 41	160.8	21,727
7	(3, 680) 87, 200	(5, 30) 125, 53	132.8	24, 274
	166150	239, 13	155, 6	36, 481
8	(20, 130) 177, 480	(28, 97) 255, 51	294. 0	52, 858
9	(30, 410)	(43, 78)	1, 914. 3	275, 530
10	62, 400	89, 83	SEA CONTRACTOR (1997)	man arrange Mill - SER-MINOS.
合計	700, 730 (54, 220)	ヤング係数 <i>E_C</i> : せん断弾性係数 <i>G</i> :	$2.57 \times 10^{7} \text{ (kN/m}^2$ $1.07 \times 10^{7} \text{ (kN/m}^2$	

ポアソン比ν 0.20

 減衰か
 5% (鉄骨部 2%)

 基礎形状
 41.56m (NS方向) × 43.56m (EW方向)

*1:()は原子炉格納容器内の水位上昇による増分を示す

(EW 方向)

質点番号	質点重量 *1 W(kN)	回転慣性 <u>重</u> 量 *1 I _G (×10 ⁵ kN·m ²)	せん断断面積 A _S (m ²)	断面2次モーメント I(m ⁴)
1	_	_	2	21
2	8 	=		<u> </u>
3	_	_		.—
4	58, 690	48. 34	-	n—-
5	67, 910	55, 90	102. 7	9, 702
6	80, 900	66, 58	163. 9	13, 576
7	(3, 680) 87, 200	(3, 03) 125, 53	131.6	14, 559
	166150	239, 13	197.8	36, 427
8	(20, 130) 177, 480	(28, 97) 313, 72	294. 0	52, 858
9	(30, 410)	(53, 75)	1, 914. 3	338, 428
10	62, 400	110, 32	(PE)	ę.
合計	700, 730 (54, 220)	25 70 975-018-018-019-019-019-018-019-01	$2.57 \times 10^{7} \text{ (kN/m}^2$ $1.07 \times 10^{7} \text{ (kN/m}^2$	

ポアソン比ν 0.20

減衰力 5% (鉄骨部 2%)

基礎形状 41.56m(NS方向)×43.56m(EW方向)

*1:()は原子炉格納容器内の水位上昇による増分を示す

表-3.3 地盤定数

 $(S_{S}-1)$

標 高 O.P. (m)	地質	S波速度 Vs (m/s)	単位体積 重量	ポアソン比 v	初期せん断 弾性係数 G _o (kN/m²)	剛性低下率 G/G ₀	ぜん断弾性 係数 G (kN/m²)	剛性低下後 S波速度 Vs (m/s)	減衰定数 h (%)
10.0_									
1.9	砂岩	380	17.8	0.473	262,000	0.85	223,000	351	3
-10.0_		450	16.5	0.464	341,000		266,000	398	
-80.0	,,,,,,	500	17.1	0.455	436,000	0.78	340,000	442	3
-108.0	泥岩	560	17.6	0.446	563,000	U.78	439,000	495	3
-196.0		600	17.8	0.442	653,000		509,000	530	
-	解放基盤	700	18.5	0.421	924,000	1.00	924,000	700	100

(Ss-2)

標 高 O.P. (m)	地 質	S波速度 Vs (m/s)	単位体積 重量 γt (kN/m³)	ポアソン比 ν	初期せん断 弾性係数 G _o (kN/m²)	剛性低下率 G/G ₀	せん断弾性 係数 G (kN/m²)	剛性低下後 S波速度 Vs (m/s)	減衰定数 h (%)
10.0_									
1.9_	砂岩	380	17.8	0.473	262,000	0.85	223,000	351	3
-10.0		450	16.5	0.464	341,000		2 76,000	405	
-80.0	, m	500	17.1	0.455	43 6,000		353,000	450	-
-108.0	泥岩	560	17.6	0.446	563,000	0.81	456,000	504	3
-196.0		600	17.8	0.442	653,000		529,000	540	
3353335	解放基盤	700	18.5	0.421	924,000	1.00	924,000	700	8 — 8

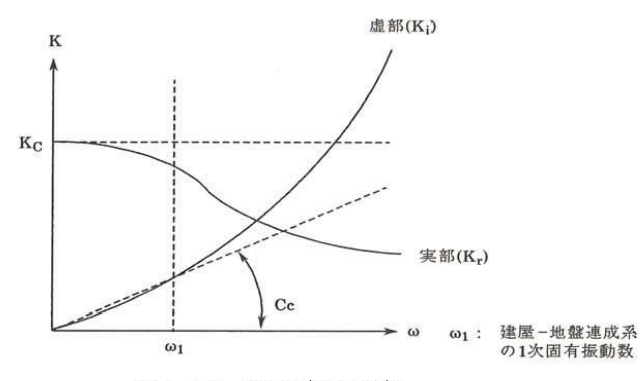
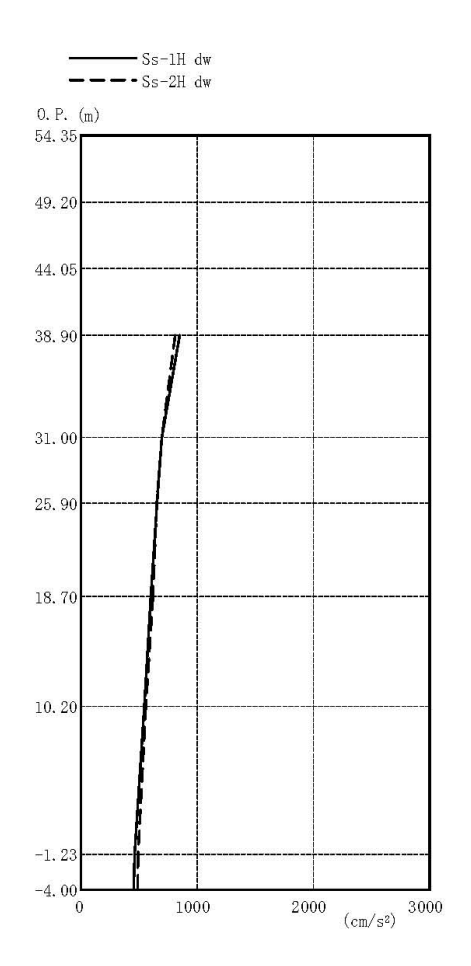


図-1.3.5 地盤ばねの近似

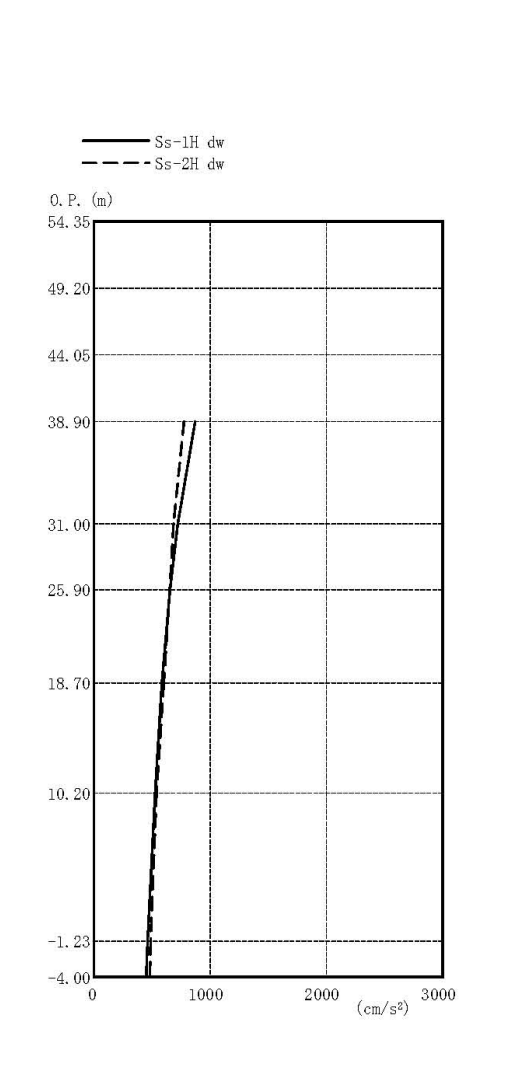
4. 地震応答解析結果

地震応答解析により求められた NS 方向、EW 方向の最大応答加速度を図-4.1 および図-4.2 に示す。



	(cm/s2)
Ss-1H dw	Ss-2H dw
849	809
695	697
653	652
602	620
544	559
460	491
455	487

図-4.1 最大応答加速度 (NS 方向)



	(cm/s2)
Ss-1H dw	Ss-2H dw
868	776
722	684
653	651
585	601
527	539
461	487
451	480

図-4.2 最大応答加速度(EW方向)

5. 耐震安全性評価結果

図-5.1, 図-5.2 及び図-5.3, 図-5.4 に基準地震動 Ss-1 及び基準地震動 Ss-2 に対する最大 応答値を耐震壁のせん断スケルトン曲線上に示す。せん断ひずみは、最大で 0.12×10^{-3} (Ss-1H, NS 方向, 1F) であり、評価基準値 (4.0×10^{-3}) に対して十分余裕がある。

以上のことから,原子炉建屋は耐震安全上重要な設備に波及的影響を与えないものと評価した。

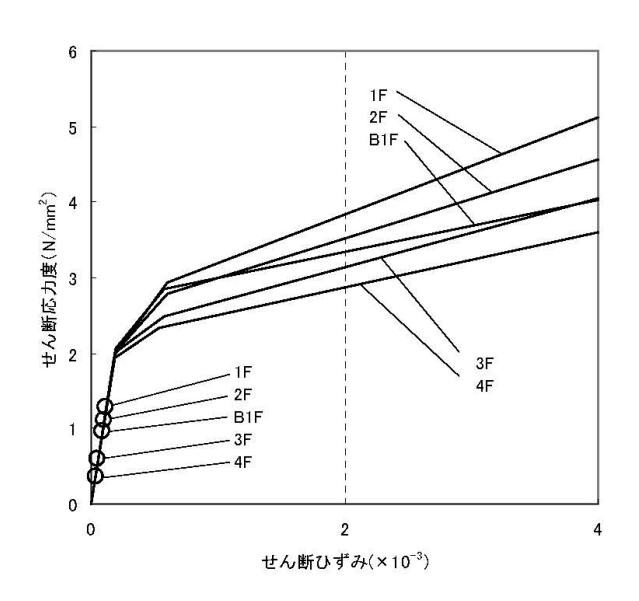


図-5.1 せん断スケルトン曲線上の最大応答値(Ss-1, NS 方向)

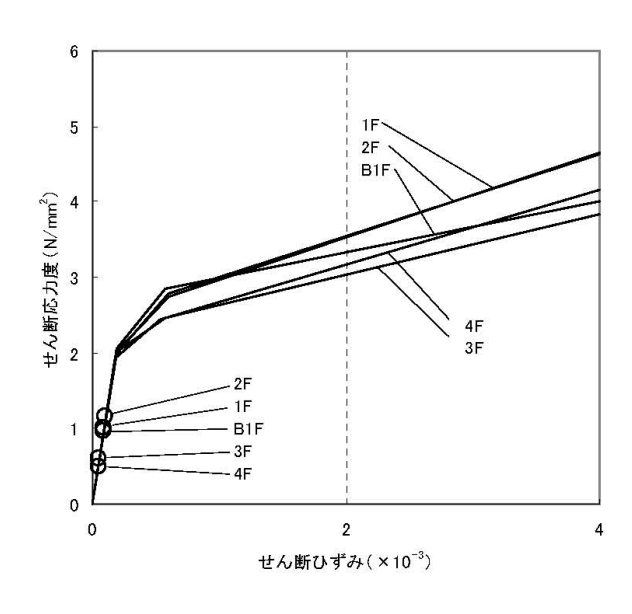


図-5.2 せん断スケルトン曲線上の最大応答値(Ss-1, EW 方向)

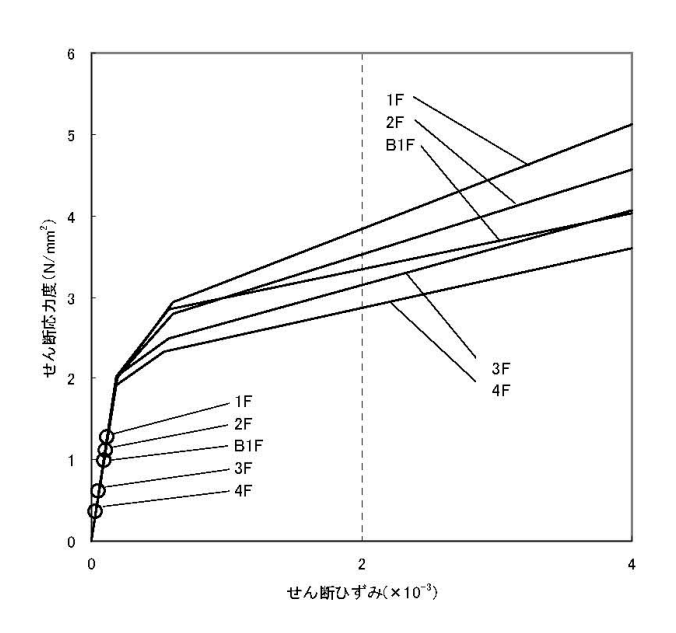


図-5.3 せん断スケルトン曲線上の最大応答値(Ss-2, NS 方向)

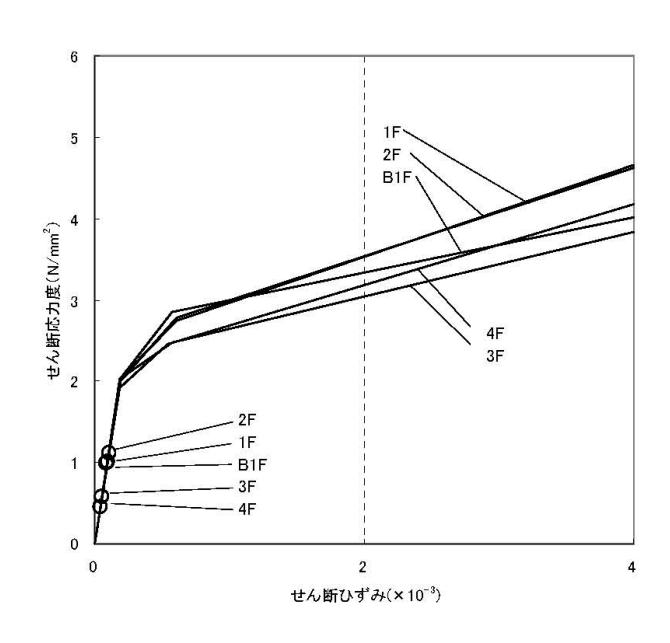


図-5.4 せん断スケルトン曲線上の最大応答値(Ss-2, EW 方向)

添付資料-3:4号機の原子炉建屋の耐震安全性評価に関する詳細 (質点系モデルによる時刻歴応答解析による評価)

1. 解析評価方針

水素爆発等による損傷に伴う原子炉建屋の構造への影響及び耐震性評価は、基準地震動 Ss を用いることを基本とし、建物・構築物や地盤の応答性状を適切に表現できるモデルを設定した上で行う。なお、基準地震動 Ss-3 については、基準地震動 Ss-1 及び Ss-2 の応答結果に比べて、過去の計算例(付録 3-1 参照)から明らかに小さいことが分かっているため、今回の検討では省略することとする。

地震応答解析モデルは、地盤との相互作用を考慮し、曲げおよびせん断剛性を考慮した質点 系モデルとする。

4号機原子炉建屋については、原因の特定には至っていないものの、水素爆発等により原子炉建屋の一部が損傷している。ここでは、原子炉建屋の損傷状況は写真を基に推定し、損傷状況を地震応答解析モデルに反映することとする。

原子炉建屋の構造への影響及び耐震性の評価は、耐震安全上重要な設備への波及的影響防止の観点から、地震応答解析により得られた耐震壁のせん断ひずみと、鉄筋コンクリート造の耐震壁の終局限界に対応した評価基準値(4.0×10^{-3})との比較により行う。

なお、鉄筋コンクリート造の耐震壁の終局限界に対しては、水平方向の地震力が支配的であ り、鉛直方向の地震力の影響は少ないことから、地震応答解析は水平方向のみ実施する。

4号機原子炉建屋の地震応答解析の評価手順例を、図-1.1に示す。

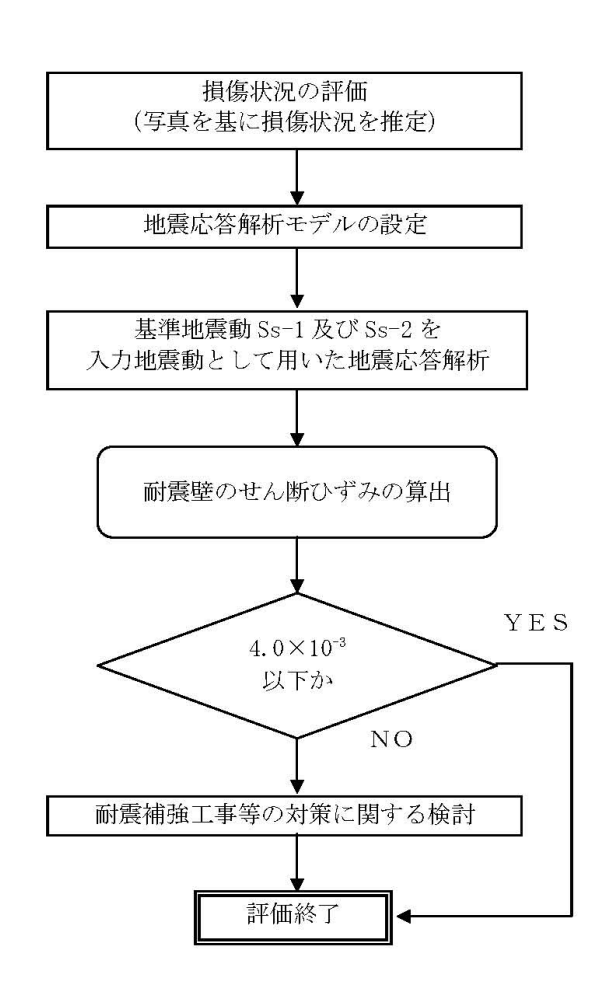


図-1.1 4号機原子炉建屋の地震応答解析の評価手順例

2. 損傷状況の評価

4号機原子炉建屋については、原因の特定には至っていないものの、水素爆発等により原子炉建屋の一部が損傷している。原子炉建屋の損傷状況は写真を基に推定し、損傷状況を地震応答解析モデルに反映することとする。また、外観写真から判断できない部位については、建屋内の調査結果等の現状で得られている情報に基づいて、損傷の有無を評価した。なお、参考にした写真の撮影日等については付録 3-2 に取りまとめた。

各部位の損傷状況評価の考え方を下記に示す。

a. 外壁・屋根トラス

外観の写真から損傷を確認できる外壁・屋根トラスについては、損傷部位として評価した。また、一部剥落が確認された外壁についても損傷として評価した。(図-2.1)

b. 使用済燃料プール

コンクリートポンプ車の先端に取り付けられたカメラにより撮影された写真から,使用済燃料プールには一定の水量が注水されていることが確認できていること,使用済燃料プール下部にあたる 2 階で漏水等が発生していないことが確認されていることから,使用済燃料プールに損傷は無いものと評価した。(図-2.2)

c. 機器仮置プール

外壁の写真を見る限り、機器仮置プール周辺の外壁で損傷が確認されていないことから、損傷が無いものと評価した。(図-2.3)

d. シェル壁

1階,2階のシェル壁については、建屋内の調査により損傷が無いことを確認できている。また、3階において、損傷している外壁の厚さは最大でも650mmであり、厚さ1000mmの外壁については損傷が無いことが確認できている。一方、3階のシェル壁は、厚さが1850mmであることから損傷が無いものと評価した。(図-2.4)

e. 床スラブ

1 階, 2 階については、建屋内の調査により、床スラブに損傷が無いことを確認している。3 階については、建屋内の調査時に2階から見上げた天井スラブ(3階の床スラブ)で損傷が確認できないことから、損傷は無いものと評価した(図-2.5)。4階以上については、建屋内の調査結果が得られていないことから、外壁の損傷状況から評価することとした。4,5階については、外壁が損傷していることから、外壁以下の厚さである床スラブは損傷している可能性があるものと評価した。



図-2.1 外壁の状況

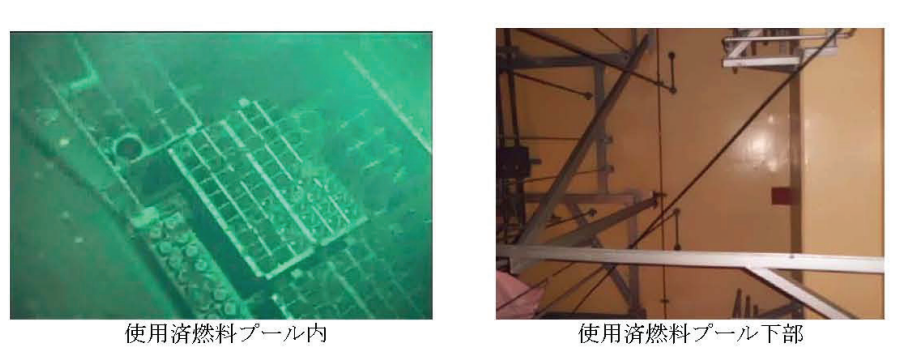


図-2.2 使用済燃料プールの状況

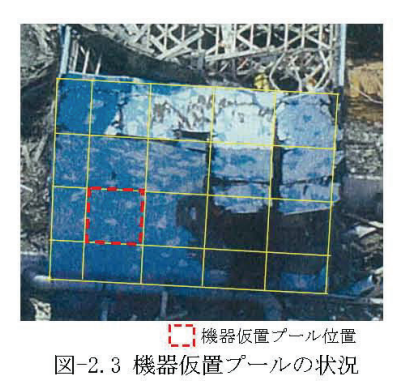




図-2.4 シェル壁の状況



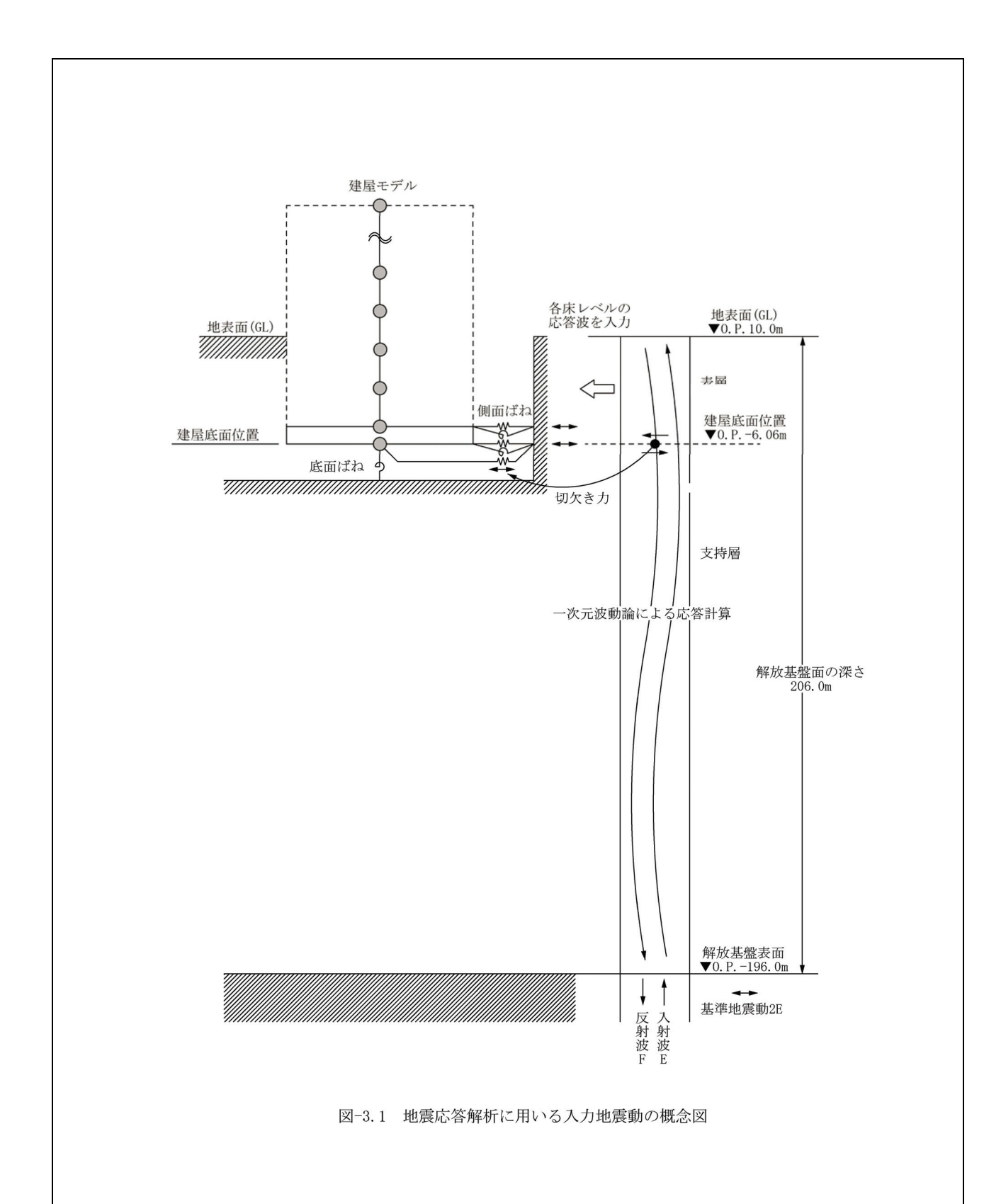
図-2.5 建屋内部の状況(1,2階)

3. 解析に用いる入力地震動

4号機原子炉建屋への入力地震動は、「福島第一原子力発電所 『発電用原子炉施設に関する耐震設計審査指針』の改訂に伴う耐震安全性評価結果 中間報告書」(原管発官19第603号 平成20年3月31日付け)にて作成した解放基盤表面レベルに想定する基準地震動Ss-1及びSs-2を用いることとする。

地震応答解析に用いる入力地震動の概念図を図-3.1 に示す。モデルに入力する地震動は、 一次元波動論に基づき、解放基盤表面レベルに想定する基準地震動 Ss に対する地盤の応答と して評価する。また、建屋基礎底面レベルにおけるせん断力を入力地震動に付加することによ り、地盤の切欠き効果を考慮する。

このうち、解放基盤表面位置 (0.P.-196.0m) における基準地震動 Ss-1 及び Ss-2 の加速度 波形について、図-3.2 に示す。



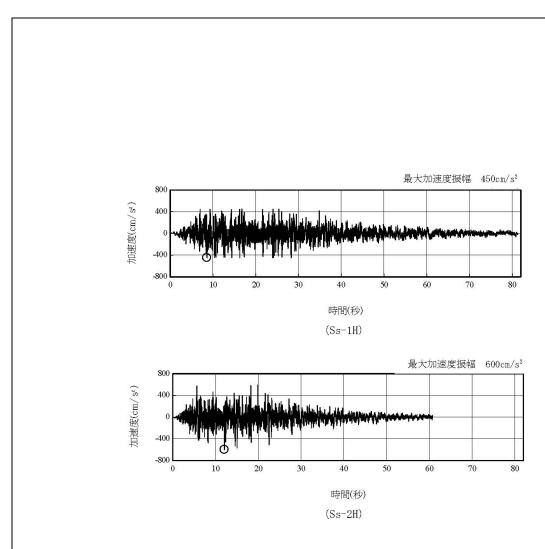


図-3.2 解放基盤表面位置における地震動の加速度時刻歴波形(水平方向)

4. 地震応答解析モデル

基準地震動 Ss に対する原子炉建屋の地震応答解析は、「3. 解析に用いる入力地震動」で算定した入力地震動を用いた動的解析による。

本検討では、「福島第一原子力発電所 『発電用原子炉施設に関する耐震設計審査指針』の 改訂に伴う耐震安全性評価結果 中間報告書(改訂版)」(原管発官 21 第 110 号 平成 21 年 6 月 19 日付け)にて作成した地震応答解析モデルを基に、次の項目について修正を加え、新た な地震応答解析モデルを構築することとしている。

4号機原子炉建屋については、地震時に定期検査中であったことから、定期検査時の条件を反映している。また、原因の特定には至っていないものの、水素爆発等により原子炉建屋の一部が損傷していることから、「2. 損傷状況の評価」で評価した損傷状況を基に解析モデルを作成する。なお、5階より上部の崩れた部分の重量は5階の床で支持されていると仮定するなど、崩れた部分の重量は下階の床で支持されていると仮定する。4号機原子炉建屋の損傷状況(立面図)を図-4.1に、損傷状況(平面図)を図-4.2に示す。

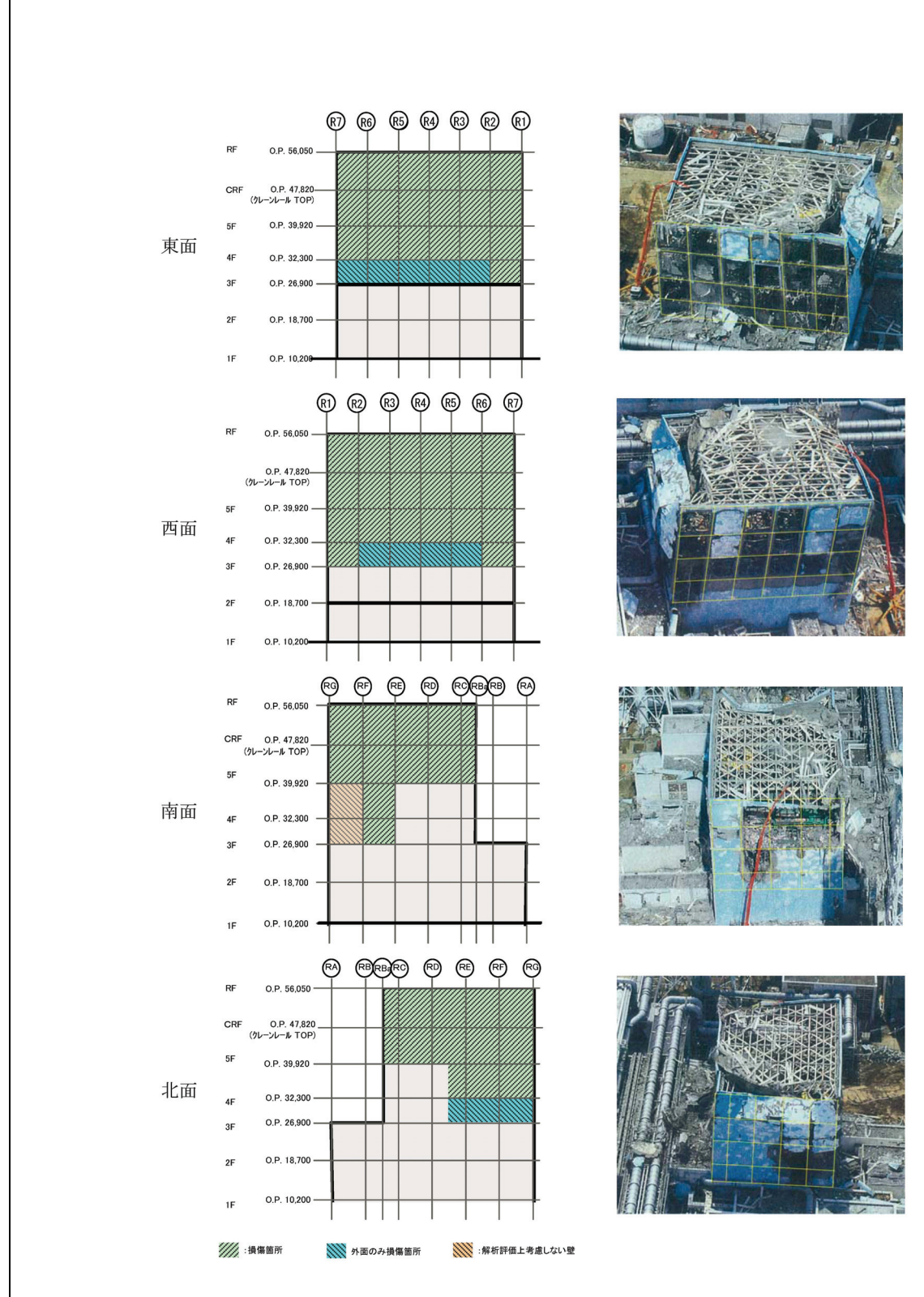
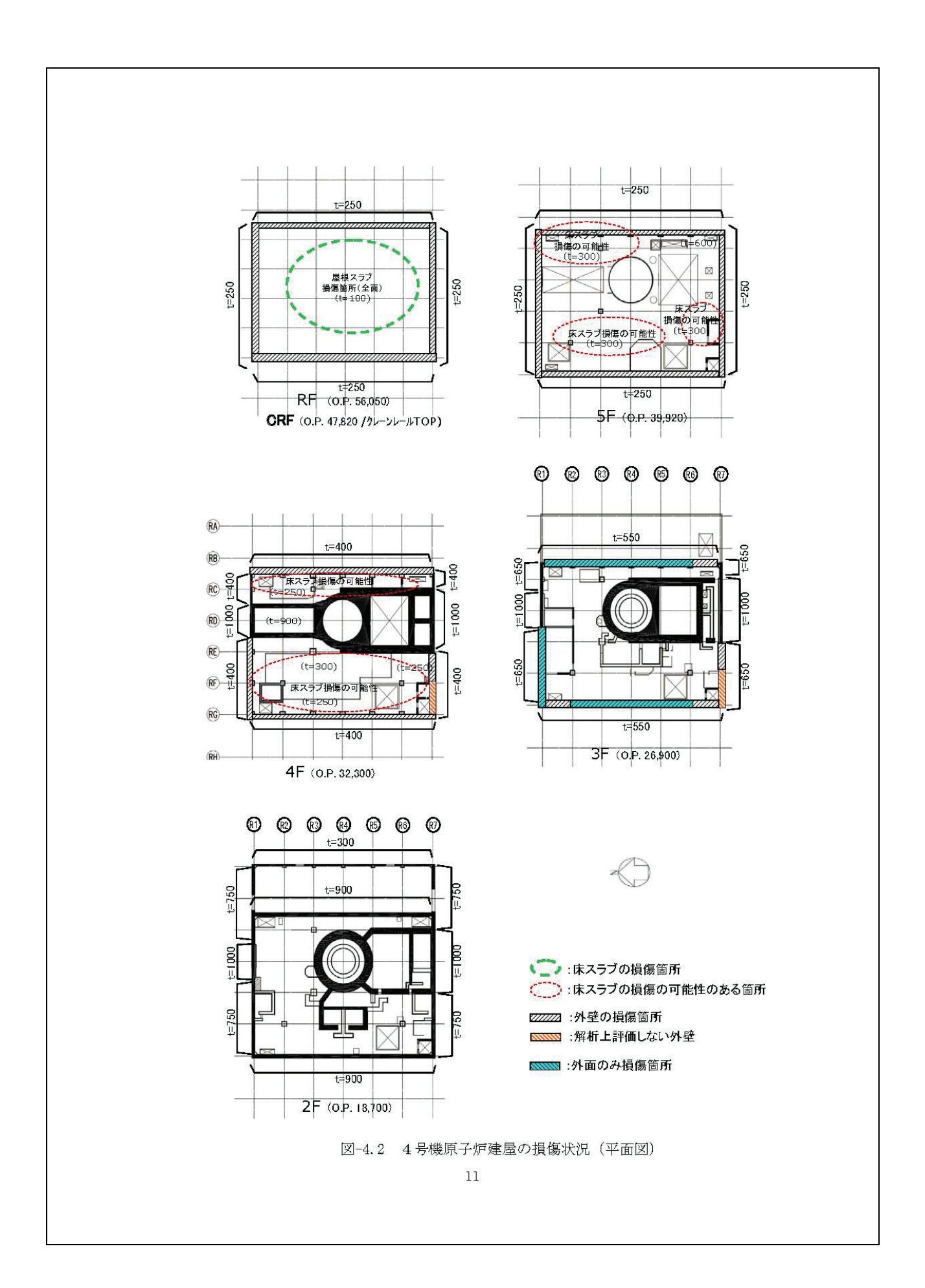


図-4.1 4号機原子炉建屋の損傷状況(立面図)



Ⅲ-3-1-3-添 2-61

(1) 水平方向の地震応答解析モデル

水平方向の地震応答解析モデルは、図-4.3 および図-4.4 に示すように、建屋を曲げ変形とせん断変形をする質点系とし、地盤を等価なばねで評価した建屋ー地盤連成系モデルとする。建屋ー地盤連成系としての効果は地盤ばねおよび入力地震動によって評価される。解析に用いるコンクリートの物性値を表-4.1 に、建屋解析モデルの諸元を表-4.2 に示す。地盤定数は、水平成層地盤と仮定し、地震時のせん断ひずみレベルを考慮して定めた。解析に用いた地盤定数を表-4.3 に示す。

水平方向の解析モデルにおいて、基礎底面地盤ばねについては、「JEAG 4601-1991」に示された手法を参考にして、成層補正を行ったのち、振動アドミッタンス理論に基づいて、スウェイおよびロッキングばね定数を近似的に評価する。また、埋め込み部分の建屋側面地盤ばねについては、建屋側面位置の地盤定数を用いて、水平および回転ばねを「JEAG 4601-1991」に示された手法を参考にして、Novak ばねに基づく近似法により評価する。

地盤ばねば振動数に依存した複素剛性として得られるが、図-4.5 に示すようにばね定数 (Kc) として実部の静的な値を、また、減衰係数 (Cc) として建屋ー地盤連成系の 1 次固有振動数に対応する虚部の値と原点を結ぶ直線の傾きを採用することにより近似する。

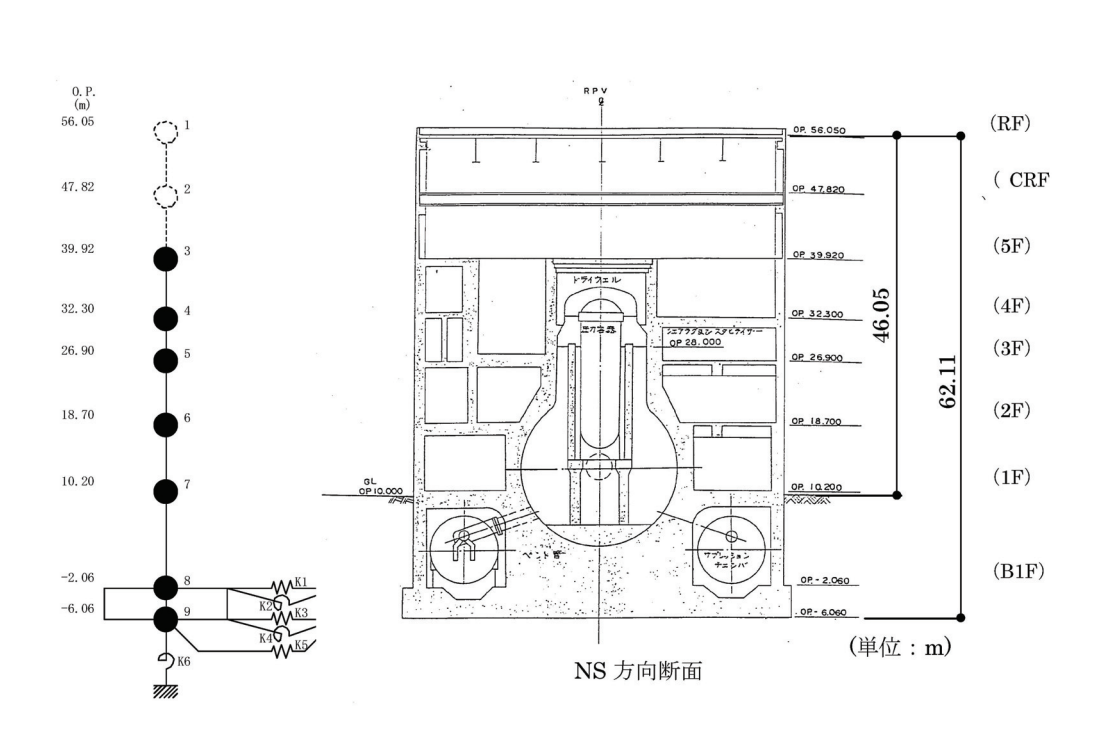


図-4.3 4号機原子炉建屋 地震応答解析モデル (NS 方向)

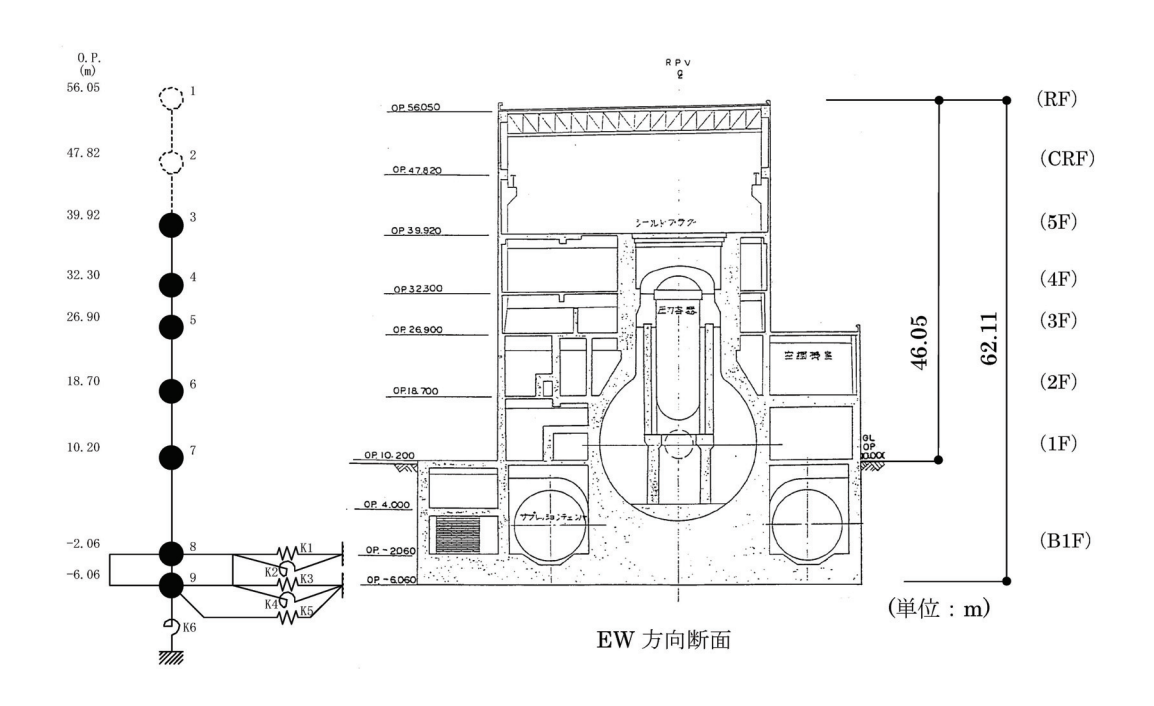


図-4.4 4号機原子炉建屋 地震応答解析モデル (EW 方向)

表-4.1 地震応答解析に用いる物性値

コン クリ	強度*1 Fc (N/mm²)	ヤング係数*2 E (N/mm²)	せん断弾性係数*2 G (N/mm²)	ポアソン 比 v	単位体積重量*3 ッ (kN/m³)			
>- F	35. 0	2.57×10^4	1.07×10^4	0. 2	24			
鉄筋	SD345相当 (SD35)							
鋼材	SS400相当 (SS41)							

*1:強度は実状に近い強度(以下「実強度」という。)を採用した。実強度の設定は、過去の圧縮 強度試験データを収集し試験データのばらつきを考慮し圧縮強度平均値を小さめにまるめた 値とした。

*2:実強度に基づく値を示す。 *3:鉄筋コンクリートの値を示す。

表-4.2 建屋解析モデルの諸元

(NS 方向)

質点番号	質点重量 W(kN)	回転慣性重量 I _g (×10 ⁵ kN·m ²)	せん断断面積 A _S (m ²)	断面2次モーメント I(m ⁴)
1	===	=		
2	_	-		_
3	114, 850	211, 39		=
4	88, 770	163, 44	150.8	13, 068
33	010000010 0010	32000000000000	103, 4	15, 942
5	117, 030	215, 39	223. 4	45, 026
6	121, 930	224, 49	175, 4	46, 774
7	207, 300	381, 60	460, 4	114, 194
8	287, 050	574, 38	10°C JM 8973 + DR-D-COW	
9	132, 390	264, 88	2, 812. 6	562, 754
合計	1, 069, 320	20 70 000000000000000000000000000000000	2.57 \times 10 ⁷ (kN/m ² 1.07 \times 10 ⁷ (kN/m ²	

ポアソン比 ν 0.20 減衰か 5% 基礎形状 49.0m(NS方向)×57.4m(EW方向)

(EW 方向)

質点番号	質点重量 W(kN)	回転慣性重量 I _g (×10 ⁵ kN·m ²)	せん断断面積 A _S (m²)	断面2次モーメント I(m ⁴)
1	=	200		
2	-	-	1 - 1	र ून
3	114, 850	118, 55	-	-
4	88, 770	91,66	90, 4	6, 491
5	117, 030	215, 39	105, 8	6, 388
6	121, 930	224, 49	167. 5	32, 815
-			166. 4	46, 303
7	207, 300	569, 22	424. 5	136, 323
8	287, 050	828, 96	2, 812. 6	772, 237
9	132, 390	346, 27		
合計	1, 069, 320	and a second control of the second second	2. 57×10^7 (kN/m ² 1. 07×10^7 (kN/m ²	

ポアソン比 ν 0.20 減衰か 5% 基礎形状 49.0m(NS方向)×57.4m(EW方向)

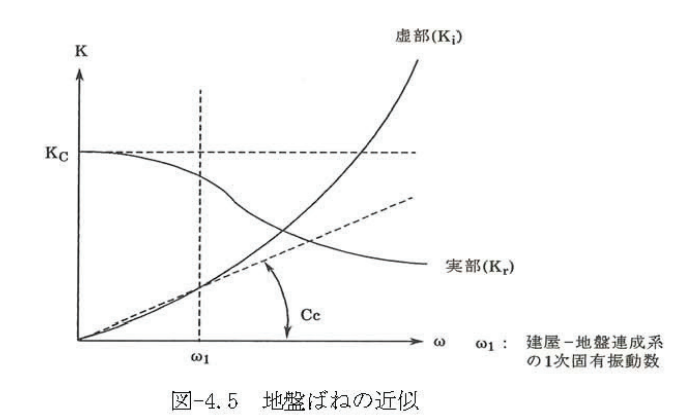
表-4.3 地盤定数

 $(S_{S}-1)$

標 高 O.P. (m)	地 質	S波速度 Vs (m/s)	単位体積 重量	ポアソン比 v	初期せん断 弾性係数 G _o (kN/m²)	剛性低下率 G/G ₀	ぜん断弾性 係数 G (kN/m²)	剛性低下後 S波速度 Vs (m/s)	減衰定数 h (%)
10.0_									
1.9	砂岩	380	17.8	0.473	262,000	0.85	223,000	351	3
-10.0		450	16.5	0.464	341,000		266,000	398	
-80.0	泥岩	500	17.1	0.455	436,000	0.78	340,000	442	3
-108.0	兆石	560	17.6	0.446	563,000	U. 78	439,000	495	3
-196.0		600	17.8	0.442	653,000		509,000	530	
	解放基盤	700	18.5	0.421	924,000	1.00	924,000	700	100

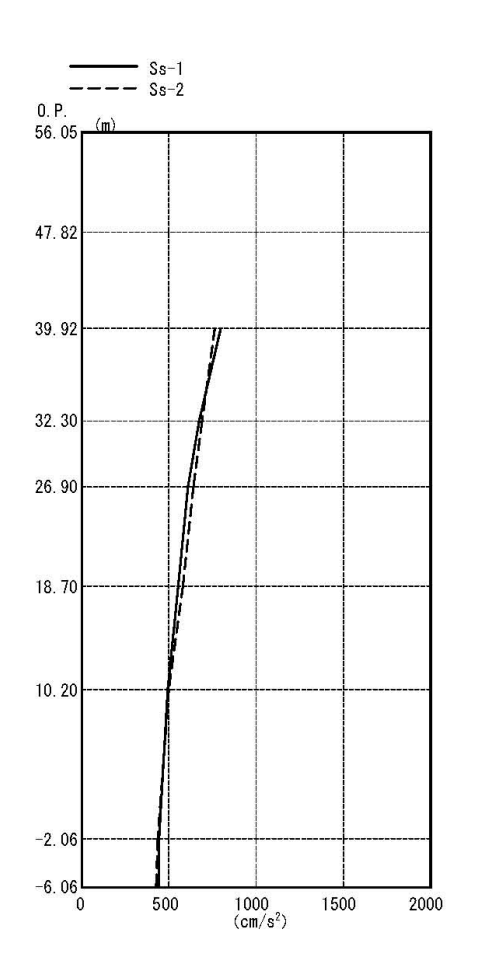
(Ss-2)

標 高 O.P. (m)	地 質	S波速度 Vs (m/s)	単位体積 重量 γt (kN/m³)	ポアソン比 ν	初期せん断 弾性係数 G _o (kN/m ²)	剛性低下率 G/G ₀	せん断弾性 係数 G (kN/m²)	剛性低下後 S波速度 Vs (m/s)	減衰定数 h (%)
10.0_									
1.9_	砂岩	380	17.8	0.473	262,000	0.85	223,000	351	3
-10.0		450	16.5	0.464	341,000		276,000	405	
-80.0	, m	500	17.1	0.455	43 6,000		353,000	450	-
-108.0	泥岩	560	17.6	0.446	563,000	0.81	456,000	504	3
-196.0		600	17.8	0.442	653,000		529,000	540	
0.000.000.000	解放基盤	700	18.5	0.421	924,000	1.00	924,000	700	9 — 3



5. 地震応答解析結果

地震応答解析により求められた NS 方向、EW 方向の最大応答加速度を図-5.1 および図-5.2 に示す。



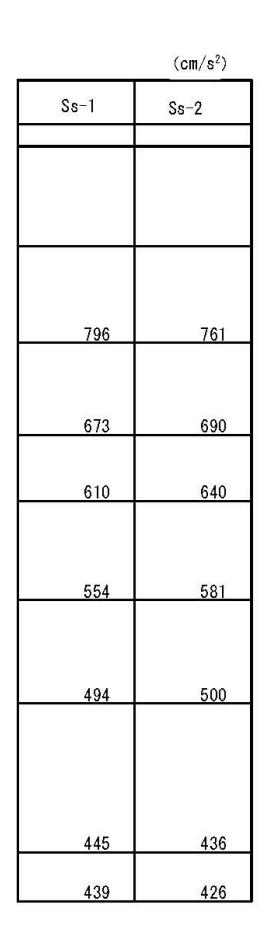


図-5.1 最大応答加速度(NS方向)

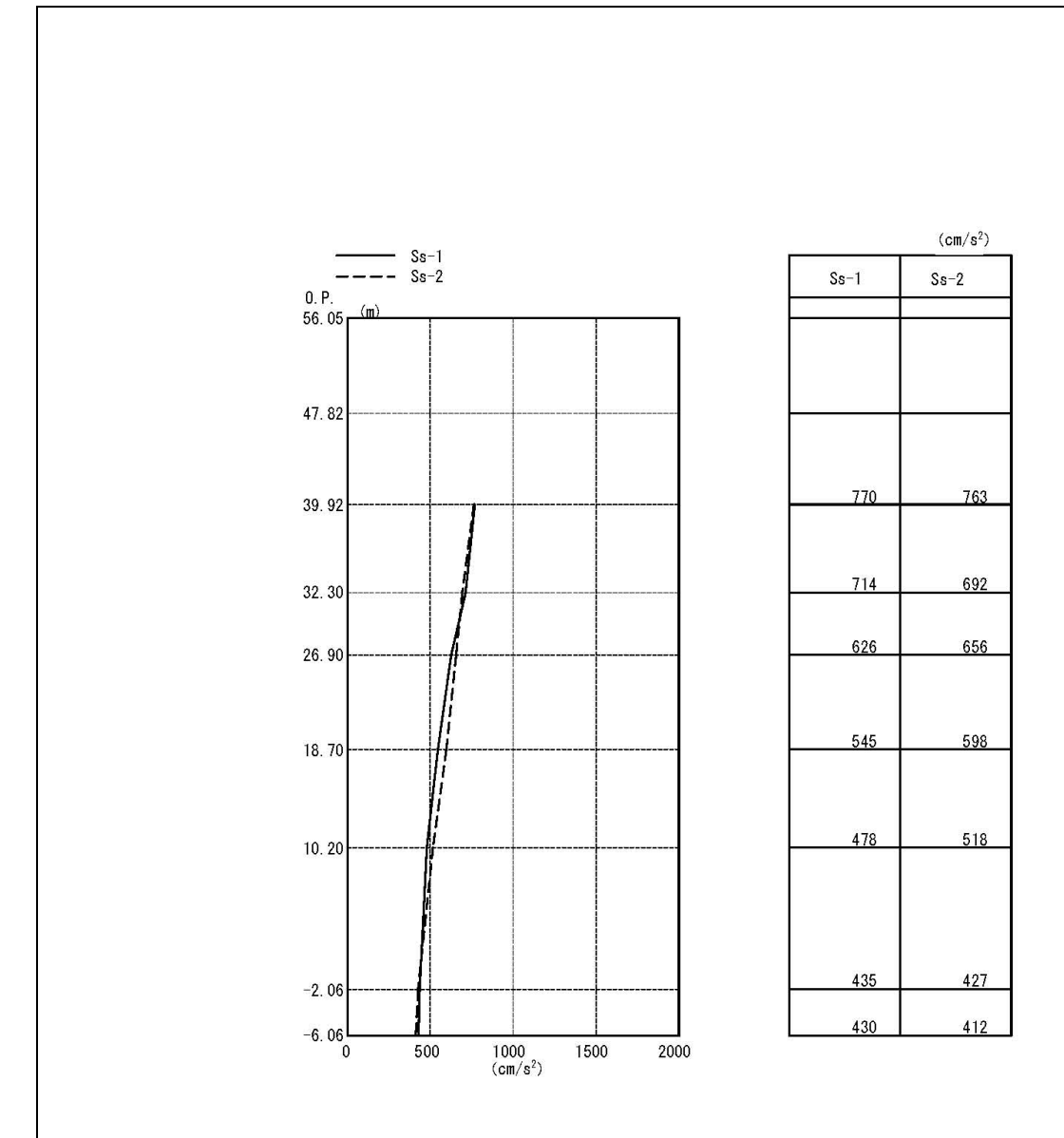


図-5.2 最大応答加速度(EW方向)

6. 耐震安全性評価結果

図-6.1, 図-6.2 及び図-6.3, 図-6.4 に基準地震動 Ss-1 及び基準地震動 Ss-2 に対する最大 応答値を耐震壁のせん断スケルトン曲線上に示す。せん断ひずみは,最大で 0.17×10^{-3} (Ss-1H 及び Ss-2H, EW 方向, 1F) であり,評価基準値(4.0×10^{-3})に対して十分余裕がある。

以上のことから,原子炉建屋は耐震安全上重要な設備に波及的影響を与えないものと評価した。

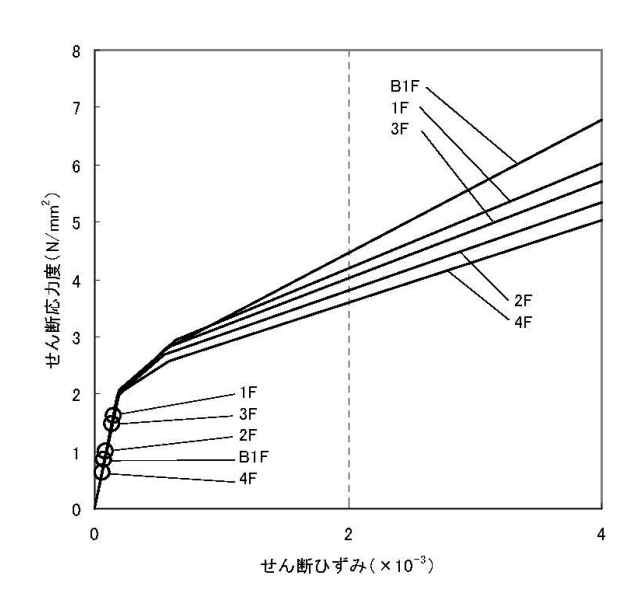


図-6.1 せん断スケルトン曲線上の最大応答値(Ss-1, NS 方向)

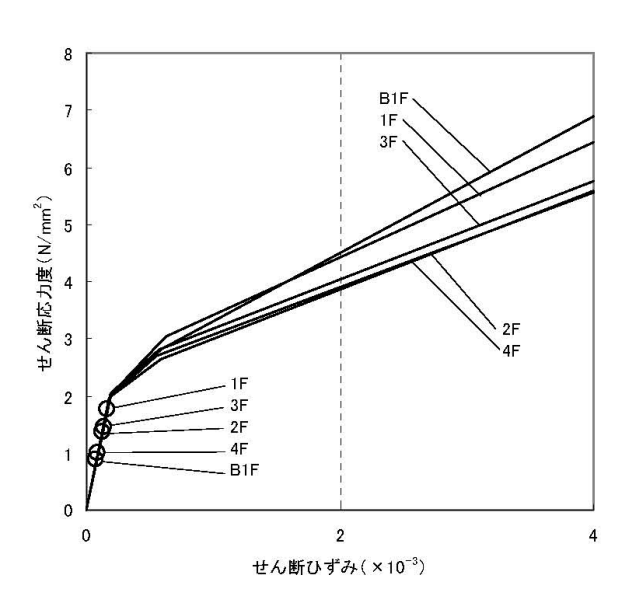


図-6.2 せん断スケルトン曲線上の最大応答値(Ss-1, EW 方向)

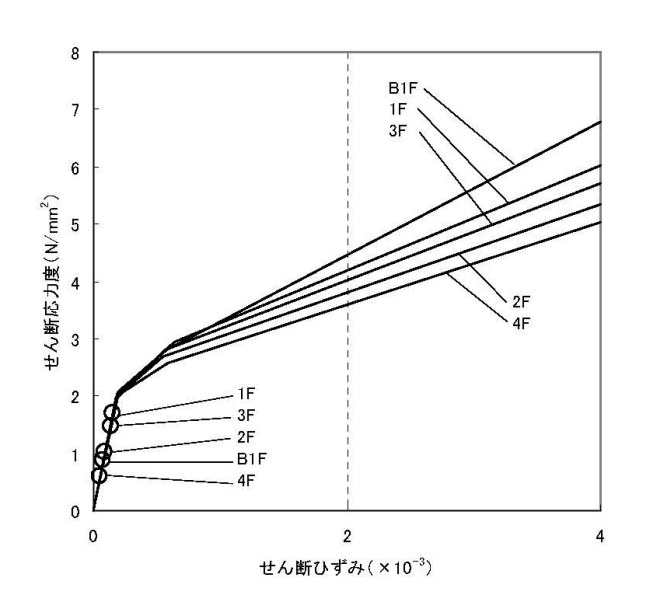


図-6.3 せん断スケルトン曲線上の最大応答値(Ss-2, NS 方向)

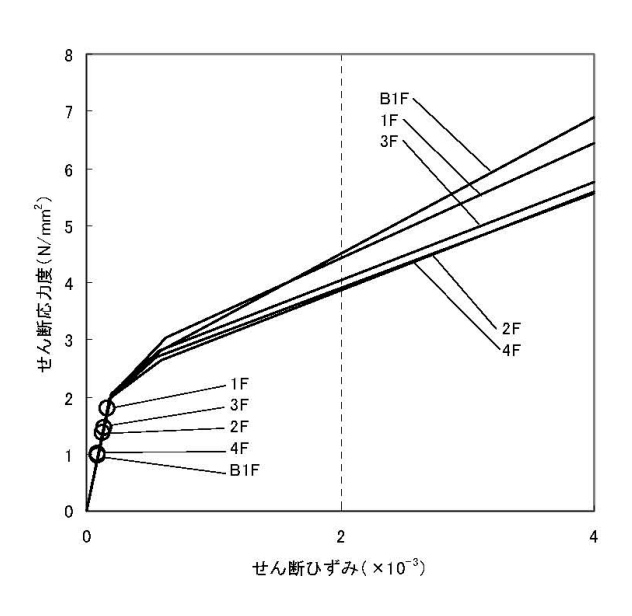


図-6.4 せん断スケルトン曲線上の最大応答値(Ss-2, EW 方向)

付録 3-1

『発電所原子炉施設に関する耐震設計審査指針』の改訂に伴う耐震安全性評価結果

「福島第一原子力発電所 『発電用原子炉施設に関する耐震設計審査指針』の改訂に伴う耐震安全性評価結果 中間報告書(改訂版)」(原管発官 21 第 110 号 平成 21 年 6 月 19 日付け)に記載している 4 号機原子炉建屋の耐震安全性評価結果を抜粋して以下に示す。

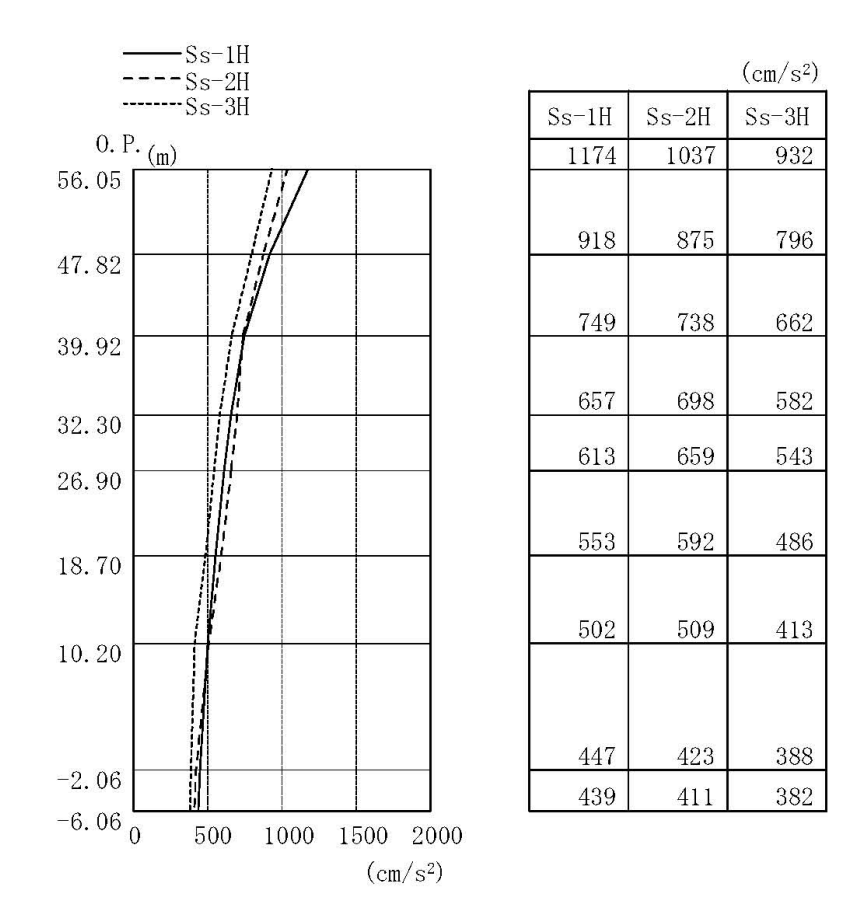
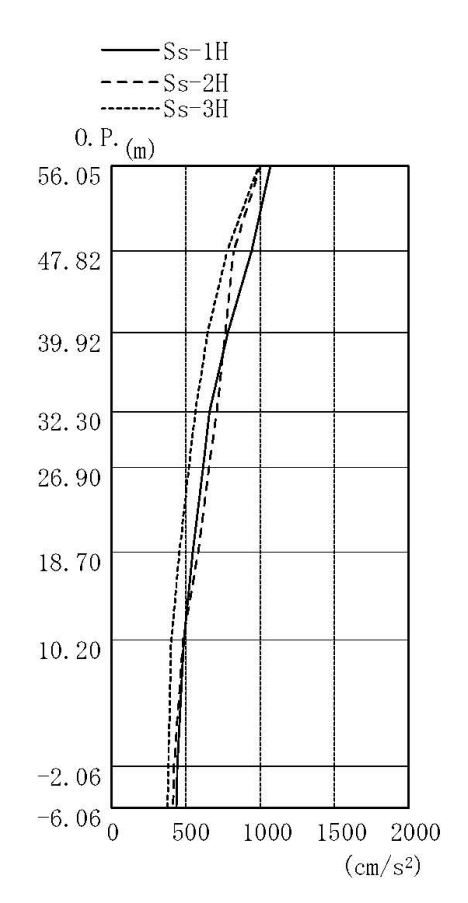


図-1 最大応答加速度(NS 方向)

付 3-1.1



10	(cm/s ²)					
Ss-1H	Ss-2H	Ss-3H				
1070	1004	992				
945	822	779				
783	766	648				
661	710	565				
617	657	521				
548	584	458				
488	483	404				
445	422	382				
438	415	378				

図-2 最大応答加速度(EW方向)

付 3-1.2

表-1 耐震壁のせん断ひずみ一覧 (NS 方向)

 $(\times 10^{-3})$

				(^ 10)
階	Ss-1H	Ss-2H	Ss-3H	評価基準値
CRF	0.10	0.09	0.08	
5F	0.17	0.15	0.14	
4F	0.05	0.05	0.04	
3F	0.08	0.08	0.07	2.0以下
2F	0.09	0.09	0.08	
1F	0.15	0.16	0.13	
B1F	0.08	0.08	0.07	

表-2 耐震壁のせん断ひずみ一覧 (EW 方向)

 $(\times 10^{-3})$

-				(/ 10)
階	Ss-1H	Ss-2H	Ss-3H	評価基準値
CRF	0.12	0.12	0.11	
5F	0.30	0.20	0.19	
4F	0.08	0.08	0.07	
3F	0.11	0.11	0.10	2.0以下
2F	0.12	0.12	0.10	
1F	0.16	0.17	0.14	
B1F	0.08	0.09	0.07	

以上

付 3-1.3

付録 3-2

損傷状況を評価するのに用いた写真について(4号機)

【外壁】

- 4月13日時点
- ・ 3月24日に撮影した外観写真により、建屋の損傷状況を確認した上で建屋の解析モデルを 作成している。(図1)





北面

西面





東面

南面

図1 損傷状況 (3月24日撮影)

○ 5月10日時点

・ 西面、南面については、5月10日に新たに現地で写真(図2)を撮影している。この写真 から3月24日時点から損傷が進展していないことが確認できる。





西面

南面

図2 西面・南面の損傷状況(5月10日撮影)

付 3-2.1

【内壁】

- 4月13日時点
- ・ 建屋内の調査が実施できていなかったことから、外観写真と図面等から判断することとした。
- 4月28日時点
- ・ コンクリートポンプ車の先端に取り付けられたカメラにより撮影された写真により、使用 済燃料プールに一定の水量が注水されていることが確認できる。(図3)



図3 使用済み燃料プール内部の状況(4月28日撮影)

○ 5月22日時点

・ 建屋内(1階、2階)では調査が実施されている。現段階では1階、2階の内壁、1階、2階の床スラブ、天井スラブに損傷は確認されていない。建屋内の写真を図4,それぞれの写真の撮影位置を図5に示す。



①1 階内壁



③1 階外壁



②1 階外壁



④1 階天井

図4(1) 建屋内部の状況(5月19日~21日撮影)

付 3-2.2



図4(2) 建屋内部の状況(5月19日~21日撮影)

付 3-2.3

